

پترولوزی، سال هفتم، شماره بیست و پنجم، بهار ۱۳۹۵، صفحه ۱۱۷-۱۳۸  
تاریخ پذیرش: ۱۳۹۴/۰۷/۰۱ تاریخ دریافت: ۱۳۹۳/۱۲/۰۳

## شیمی کانی و دما-فشارسنگی سنگ‌های میگماتیتی منطقه بروجرد (شمال پهنه سندج-سیرجان)

عارفه حیدریانمنش، زهرا طهماسبی \* و احمد احمدی خلجی  
گروه زمین‌شناسی، دانشکده علوم، دانشگاه لرستان، خرم‌آباد، ایران

### چکیده

میگماتیتها، بخش مهمی از دگرگونی درجه بالای هاله دگرگونی بروجرد (شمال پهنه سندج - سیرجان) را تشکیل داده‌اند. مجموعه میگماتیتی، در بردارنده میگماتیتها، میگماتیت‌های تحول یافته از شیست‌ها و میگماتیت‌های تحول یافته از هورنفلس‌ها با تنوع ساختاری و کانی‌شناسی است. این سنگ‌ها به صورت بخش‌های روشن (لوکوسوم)، نیره (ملاتوسوم) و تیره و روشن (مزوسوم) دیده می‌شوند. بخش روشن عمده‌است کانی‌های کوارتز، پالازیوکلاز، آلكالی‌فلدسبار، بیوتیت و مسکوویت تشکیل شده است و بافت پرتیت، پویی کیلوبلاستیک، گرانوبلاستیک، گرافیکی و میرمکیتی دارد. ملاتوسوم‌ها، بیوتیت، گارنت، آندالوزیت، سیلیمانیت و تورمالین هستند و بافت لپیدوبلاستیک، پورفیرولپیدوبلاستیک و لپیدوپورفیروبلاستیک دارند. در مزوسوم‌ها علاوه بر کانی‌های تیره، بیشتر کانی‌های تشکیل‌دهنده بخش روشن نیز مشاهده می‌شود و معمولاً بافت پورفیروبلاستیک، لپیدوبلاستیک و گرانوبلاستیک نشان می‌دهند. با توجه به نتایج بدست آمده از بررسی‌های پتروگرافی و تجزیه شیمیایی سنگ کل، سنگ مادر غالب آنها سنگ‌های پلیتی بوده است. نتایج دما - فشارسنگی بدست آمده، محدوده دمایی ۵۶۸ تا ۶۶۲ درجه سانتیگراد و فشار ۲/۸ تا ۳/۳ کیلوبار را نشان می‌دهد. با توجه به دما و فشار محاسبه شده، گردیان زمین گرمایی به ترتیب برای شیست‌های میگماتیتی و میگماتیت‌ها ۴۸ و ۶۰ درجه سانتیگراد بر کیلومتر است. انتشار حرارت ناشی از توده بروجرد و ماقماتیسم مافیک (که انکلاوهایی از آنها در گرانیت‌ویده دیده می‌شود) و سیالات فرورانشی، سبب ایجاد میگماتیتها شده است. عامل اصلی افزایش گردیان زمین گرمایی، وجود توده‌های آذرین داغ و ورود سیالات توده نفوذی در قوس‌های ماقمایی است.

**واژه‌های کلیدی:** ژئوتربومتری، ذوب‌بخشی، میگماتیت، قوس ماقمایی، بروجرد، پهنه سندج-سیرجان

### مقدمه

فرایندهای زمین‌شناسی است. در این راستا میگماتیتها و تعیین درجه حرارت و فشار تشکیل آنها می‌تواند پترولوزیست‌های دگرگونی را در تعیین اوج دگرگونی

یکی از اهداف مهم پترولوزیست‌ها، تعیین دقیق شرایط فیزیکی حاکم بر تشکیل سنگ‌ها و ارتباط آن با

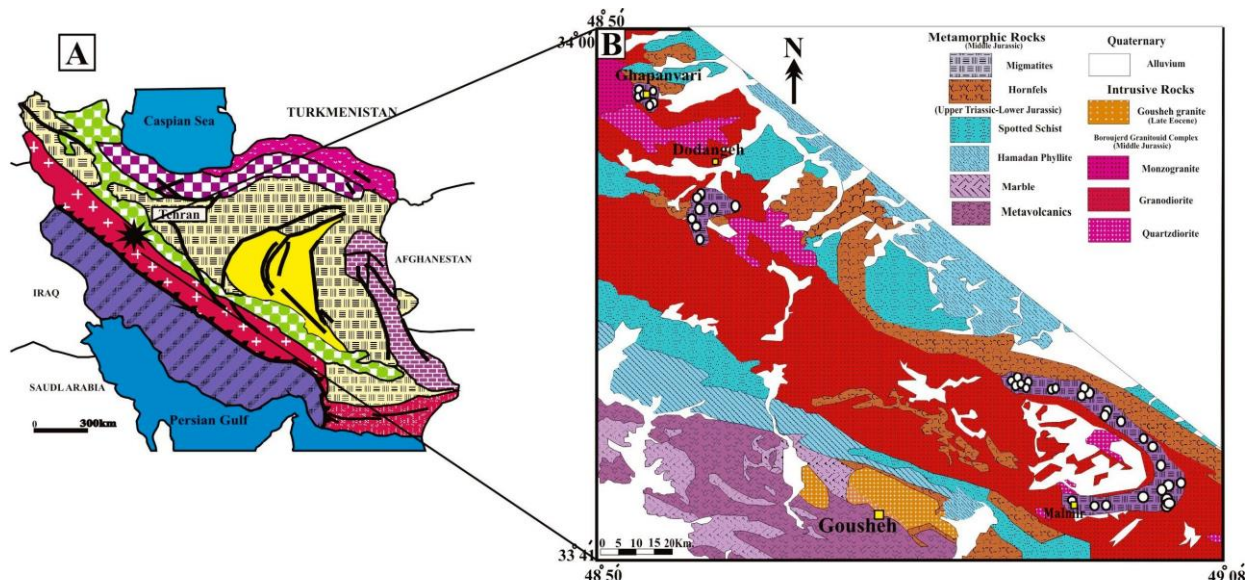
\* tahmasebi.z@lu.ac.ir

Copyright©2016, University of Isfahan. This is an Open Access article distributed under the terms of the Creative Commons Attribution License (<http://creativecommons.org/licenses/BY-NC-ND/4.0/>), which permits others to download this work and share it with others as long as they credit it, but they cannot change it in any way or use it commercially.

به کارگرفتن روش‌های دما و فشارسنجی برای مجموعه کانی‌های بدون تعادل و روابط بافتی خوب‌شناخته‌نشده احتماً بزرگ‌ترین علت خطا در برآوردهای P-T است. متأسفانه نمی‌توان وجود تعادل را به طور صد درصد ثابت کرد، اما می‌توان با برخی شواهد، Spear and Peacock, 1989; Seifert, 1978 نبودن تعادل را شناخت ().

منطقه مورد مطالعه در شرق و جنوب شرق شهرستان بروجرد بین طول‌های جغرافیایی  $48^{\circ}50'$  تا  $49^{\circ}08'$  شرقی و عرض‌های جغرافیایی  $33^{\circ}41'$  تا  $34^{\circ}11'$  شمالی قرار دارد (شکل ۱) و از نظر زمین‌شناسی به عنوان بخشی از دگرگونی‌های مژوزویک در بخش شمالی پهنه سنتندج - سیرجان در زیر پهنه با دگرشكلي پيچide است (شکل ۱ - A) (Mohajjal, 1997).

يارى كند. از سوی ديگر به علت آن که ميگماتيت‌ها در شرایط متفاوتی به وجود می‌آيد، تعیین دما و فشار انواع ميگماتيت‌ها می‌تواند در شناخت فرایندهای دگرگونی، ذوب و عملکرد سیالات در پوسته زمین مفید باشد. بيشتر محاسبات دما‌سنجی و فشارسنجی در زمین‌شناسی بر اساس شرایط تعادلی و روابط ترموديناميکي انجام می‌شود و دما‌سنج‌ها بر اساس واکنش‌های تبادل کاتيون و بهويژه تبادل Mg و Fe در بين کانی‌ها بنا شده‌اند (Spear, 1993). اين واکنش‌ها  $\Delta V$  کوچک و تغييرات آنتالپي و آنتروبي بزرگی دارند. روش‌های دما‌سنجی و فشارسنجی را تنها زمانی می‌توان به کار برد که بافت کانی‌ها در سنگ و روابط پاراژنتيکي بين کانی‌های موجود در سنگ به خوبی شناخته شده باشد و مجموعه کانی‌های سنگ مورد مطالعه در حالت تعادل باشند (Will, 1998).



شکل ۱ - (A) موقعیت سنگ‌های میگماتیتی منطقه بروجرد در شمال پهنه سنتندج - سیرجان؛ (B) نقشه ساده‌شده از زمین‌شناسی منطقه بروجرد (برگرفته از Ahmadi Khalaji (۲۰۰۶) با اندکی تغییرات). دایره سفید، موقعیت نمونه‌ها را نشان می‌دهد.

سنگ‌های آذرین اسیدی در منطقه، گرانوڈیوریت، مونزوگرانیت، آپلیت و پگماتیت هستند (شکل ۱ - B) و سنگ‌های بازیک، دایک‌های دلریتی و گابرو (به صورت انکلاوهای بزرگ درون کوارتزدیوریت‌ها) هستند.

سنگ‌های دگرگونی این منطقه، سنگ‌های دگرگونی ناحیه‌ای عمده‌اً تشکیل شده از اسلیت، فیلیت و انواع شیست و سنگ‌های مجاورتی شیست لکه‌دار و انواع هورنفلس همراه با میگماتیت هستند (شکل ۱ - B).

کانی‌ها، دما- فشارسنجی و شیوه به وجود آمدن میگماتیت‌های بروجرد، بررسی شود.

### روش انجام پژوهش

برای دستیابی به اهداف این پژوهش، از تعداد ۳۰ نمونه سنگ میگماتیتی منطقه بروجرد مقطع نازک - صیقلی تهیه شد و کانی‌های شاخص موجود در این سنگ‌ها تجزیه نقطه‌ای شد. تجزیه‌های شیمیایی Cameca- نقطه‌ای با یک دستگاه ریزپردازندۀ نوع Sx100 در آزمایشگاه شرکت فراوری مواد معدنی ایران با ولتاژ شتابدهنده KV ۱۵ و شدت جریان ۲۰ nA انجام شده است. رابطه کانی‌ها برای کلربیت، کردبریت، گارنت، میکا (بیوتیت و مسکوویت)، آندالوزیت و پلاژیوکلаз به ترتیب بر اساس ۱۴، ۱۴، ۲۲، ۲۴، ۱۸، ۵ و ۸ اتم اکسیژن محاسبه شده است.

ترکیب فعالیت اعضاي نهایی کانی‌ها و نسبت  $\text{Fe}^{3+}/\text{Fe}^{2+}$  با برنامه کامپیوتری Ax (Droop, 1987) تعیین شده است. فعالیت میکای سفید با مدل van Laar (Coggon and Holland, 2002) و بیوتیت با مدل اختلاط ایده‌آل سایت  $A_1 M_1$  محاسبه شده است. در جدول‌های ۱ تا ۶ داده‌های ریزپردازش کانی‌ها آمده است. برای تعیین سنگ مادر میگماتیت‌ها، تعداد ۱۰ نمونه از آنها انتخاب و با روش XRF در سازمان زمین‌شناسی کشور، تجزیه شیمیایی شد (جدول ۷). دستگاه اندازه‌گیری مدل SRS-303 ساخت زیمنس است. نمونه‌ها پس از پودرشدن تا ۲۰۰-۲۰۰ مش از طریق اختلاط با چسب مناسب (WAX-C) که یک پلیمر الی است، پرس می‌شوند و به صورت قرص همگن در می‌آیند. در تجزیه نمونه‌ها، کالیبراسیون از طریق به کار گرفتن استانداردهای خارجی انجام شده است. زمان اندازه‌گیری برای عناصر، بین ۴۰ تا ۶۰ ثانیه تغییر کرده است.

Berthier و همکاران (۱۹۷۴)، میگماتیت‌های منطقه بروجرد را پهنه سیلیمانیت منشوری معرفی کرده‌اند و Masoudi (۱۹۹۷) نیز ضمن اشاره به وجود پهنه میگماتیتی در شمال شرق توده نفوذی بروجرد در مقیاس کم، آن را بخشی از پهنه سیلیمانیت می‌داند. Ahmadi Khalaji (۲۰۰۶) این پهنه میگماتیتی را در بخش شمالی توده گرانیتوییدی بروجرد بررسی کرده است بیان می‌کند که این پهنه، مجموعه‌ای تشکیل شده از میگماتیت‌های تریویکی با ساخت چین‌های جربانی (پتیگماتیتی) است. مطالعات Ghafari (۲۰۱۰) بخش شرقی توده نفوذی گرانیتوییدی را شامل می‌شود که میگماتیت‌های منطقه را عمده‌تر از نوع لخته‌ای و انواع دیگر را نیز به صورت پراکنده معرفی می‌کند. Baharifar و Ghafari (۲۰۱۰) به وجود کرنودوم حاصل از شکسته شدن موسکوویت در این سنگ‌ها اشاره کرده‌اند و آن را شاهدی بر آغاز رخساره گرانولیت در منطقه و همچنین، احتمال تشکیل میگماتیت‌ها بر اثر ذوب‌بخشی می‌دانند.

Heydarianmanesh و همکاران (۲۰۱۴) مطالعات بیشتری روی سنگ‌های ذکر شده انجام داده‌اند و بر اساس شواهد صحرایی و ماکروسکوپی، میگماتیت‌های منطقه را به دو نوع تقسیم کرده‌اند: نوع اول، میگماتیت‌های زبانه‌ای (متاتکسیت‌ها) که لایه‌بندی در آنها حفظ شده است و عموماً حاصل جدایش ماغما (نئوسوم یا لوکوسوم) طی دگر‌شکلی هستند. نوع دوم، میگماتیت‌های دیاتکسیت (انبوهه‌های بلور- مذاب بدون برگوارگی) که لایه‌بندی آنها تقریباً محو شده است. دیاتکسیت‌ها احتمالاً از مذاب، بلورهای نهشته شده، رستیت و رسوب بازمانده یا ذوب‌ناشدنی‌ها (مواد جامدی که در تأثیر فرایند ذوب قرار نگرفته‌اند) تشکیل شده‌اند. در این پژوهش سعی شده است بر اساس مطالعات صحرایی، پتروگرافی، تجزیه‌های شیمی سنگ کل و

جدول ۱- نتایج حاصل از تجزیه نقطه‌ای فلدسپار موجود در سنگ‌های میگماتیتی منطقه بروجرد (شمال پهنه سندج - سیرجان) به همراه محاسبه فرمول ساختاری و اعضای نهایی آن

| Sample No.                     | migmatite rocks GH13 |       | schist migmatites HM23 |        |        |        |        |    |
|--------------------------------|----------------------|-------|------------------------|--------|--------|--------|--------|----|
|                                | Mineral Type         | kfs   | kfs                    | Pl     | Pl     | Pl     | Pl     | Pl |
| Analysis No.                   | 16                   | 17    | 6                      | 7      | 8      | 14     | 15     |    |
| SiO <sub>2</sub>               | 48.61                | 48.58 | 66.21                  | 65.52  | 65.34  | 67.21  | 67.28  |    |
| TiO <sub>2</sub>               | 0.85                 | 0.83  | 0.00                   | 0.01   | 0.01   | 0.00   | 0.00   |    |
| Al <sub>2</sub> O <sub>3</sub> | 37.48                | 37.29 | 20.21                  | 21.72  | 21.82  | 20.50  | 21.05  |    |
| FeO                            | 1.18                 | 1.17  | 0.11                   | 0.01   | 0.05   | 0.07   | 0.00   |    |
| MnO                            | 0.00                 | 0.00  | 0.00                   | 0.00   | 0.00   | 0.00   | 0.00   |    |
| MgO                            | 0.49                 | 0.43  | 0.00                   | 0.00   | 0.01   | 0.00   | 0.00   |    |
| CaO                            | 0.01                 | 0.01  | 2.86                   | 2.93   | 3.64   | 0.56   | 2.15   |    |
| Na <sub>2</sub> O              | 0.39                 | 0.27  | 11.01                  | 10.59  | 9.79   | 12.47  | 10.06  |    |
| K <sub>2</sub> O               | 10.34                | 10.21 | 0.14                   | 0.09   | 0.14   | 0.07   | 0.07   |    |
| Sum                            | 99.48                | 98.92 | 100.54                 | 100.87 | 100.80 | 100.88 | 100.61 |    |
| Si                             | 2.24                 | 2.24  | 2.91                   | 2.87   | 2.85   | 2.93   | 2.93   |    |
| Ti                             | 0.03                 | 0.03  | 0.00                   | 0.00   | 0.00   | 0.00   | 0.00   |    |
| Al                             | 2.03                 | 2.03  | 1.05                   | 1.12   | 1.13   | 1.05   | 1.08   |    |
| Fe <sup>(3+)</sup>             | 0.00                 | 0.00  | 0.00                   | 0.00   | 0.00   | 0.01   | 0.02   |    |
| Fe <sup>(2+)</sup>             | 0.05                 | 0.05  | 0.00                   | 0.00   | 0.00   | 0.00   | 0.00   |    |
| Mn                             | 0.00                 | 0.00  | 0.00                   | 0.00   | 0.00   | 0.00   | 0.00   |    |
| Mg                             | 0.03                 | 0.03  | 0.00                   | 0.00   | 0.00   | 0.00   | 0.00   |    |
| Ca                             | 0.00                 | 0.00  | 0.14                   | 0.14   | 0.17   | 0.03   | 0.10   |    |
| Na                             | 0.04                 | 0.02  | 0.94                   | 0.90   | 0.83   | 1.05   | 0.85   |    |
| K                              | 0.61                 | 0.60  | 0.01                   | 0.01   | 0.01   | 0.00   | 0.00   |    |
| Sum                            | 5.02                 | 5.00  | 5.04                   | 5.11   | 4.99   | 5.07   | 4.96   |    |
| X <sub>ab</sub>                | 0.05                 | 0.04  | 0.87                   | 0.86   | 0.82   | 0.97   | 0.89   |    |
| X <sub>an</sub>                | 0.00                 | 0.00  | 0.12                   | 0.13   | 0.17   | 0.02   | 0.11   |    |
| X <sub>or</sub>                | 0.95                 | 0.96  | 0.01                   | 0.00   | 0.01   | 0.00   | 0.00   |    |

جدول ۲- نتایج حاصل از تجزیه نقطه‌ای مسکوویت موجود در سنگ‌های میگماتیتی منطقه بروجرد (شمال پهنه سندج - سیرجان) به همراه محاسبه فرمول ساختاری و اعضای نهایی آن.

| Sample No.                     | migmatite rocks GH13 |       | schist migmatites HM23 |       |     |
|--------------------------------|----------------------|-------|------------------------|-------|-----|
|                                | Mineral Type         | Mus   | Mus                    | Mus   | Mus |
| Analysis No.                   | 29                   | 30    | 12                     | 13    |     |
| SiO <sub>2</sub>               | 60.28                | 47.40 | 44.30                  | 43.60 |     |
| Al <sub>2</sub> O <sub>3</sub> | 27.35                | 35.60 | 0.01                   | 0.01  |     |
| MgO                            | 0.36                 | 0.43  | 33.10                  | 31.60 |     |
| FeO                            | 0.70                 | 0.92  | 4.81                   | 5.88  |     |
| TiO <sub>2</sub>               | 0.19                 | 0.24  | 0.07                   | 0.08  |     |
| MnO                            | 0.00                 | 0.01  | 2.94                   | 3.35  |     |
| CaO                            | 0.03                 | 0.01  | 0.05                   | 0.05  |     |
| Na <sub>2</sub> O              | 0.87                 | 1.26  | 0.21                   | 0.11  |     |
| K <sub>2</sub> O               | 6.56                 | 8.42  | 8.78                   | 9.44  |     |
| Sum                            | 96.41                | 94.40 | 94.30                  | 94.10 |     |
| Si                             | 3.78                 | 3.14  | 3.38                   | 3.36  |     |
| Al <sup>IV</sup>               | 0.22                 | 0.86  | 0.62                   | 0.64  |     |
| Al <sup>VI</sup>               | 1.80                 | 1.92  | 2.35                   | 2.23  |     |
| Mg                             | 0.03                 | 0.04  | 0.00                   | 0.00  |     |
| Fe <sup>(3+)</sup>             | 0.00                 | 0.00  | 0.00                   | 0.00  |     |
| Fe <sup>(2+)</sup>             | 0.04                 | 0.05  | 0.27                   | 0.34  |     |
| Ti                             | 0.01                 | 0.01  | 0.01                   | 0.01  |     |
| Mn                             | 0.01                 | 0.01  | 0.33                   | 0.39  |     |
| Ca                             | 0.00                 | 0.00  | 0.00                   | 0.00  |     |
| Na                             | 0.11                 | 0.16  | 0.03                   | 0.02  |     |
| K                              | 0.52                 | 0.71  | 0.85                   | 0.93  |     |
| Sum                            | 6.53                 | 6.91  | 7.86                   | 7.91  |     |

جدول ۳- نتایج حاصل از تجزیه نقطه‌ای بیوتیت موجود در سنگ‌های میگماتیتی منطقه بروجرد (شمال پهنه سندج - سیرجان) به همراه محاسبه فرمول ساختاری.

| Sample No.                         | Migmatite rocks GH13 |       |       | schist migmatites HM23 |       |       |       |
|------------------------------------|----------------------|-------|-------|------------------------|-------|-------|-------|
| Mineral Type                       | Bt                   | Bt    | Bt    | Bt                     | Bt    | Bt    | Bt    |
| Analysis No.                       | 18                   | 25    | 28    | 34                     | 1     | 2     | 3     |
| <b>SiO<sub>2</sub></b>             | 34.79                | 33.53 | 34.90 | 34.94                  | 34.79 | 33.53 | 34.90 |
| <b>Al<sub>2</sub>O<sub>3</sub></b> | 19.92                | 19.35 | 23.00 | 20.35                  | 19.92 | 19.35 | 23.00 |
| <b>MgO</b>                         | 8.66                 | 8.60  | 7.55  | 8.52                   | 8.66  | 8.60  | 7.55  |
| <b>FeO</b>                         | 21.09                | 21.46 | 18.62 | 20.67                  | 21.09 | 21.46 | 18.62 |
| <b>TiO<sub>2</sub></b>             | 1.83                 | 1.89  | 1.45  | 1.37                   | 1.83  | 1.89  | 1.45  |
| <b>MnO</b>                         | 0.30                 | 0.26  | 0.32  | 0.29                   | 0.30  | 0.26  | 0.32  |
| <b>CaO</b>                         | 0.02                 | 0.13  | 0.04  | 0.13                   | 0.02  | 0.13  | 0.04  |
| <b>Na<sub>2</sub>O</b>             | 0.25                 | 0.27  | 0.30  | 0.29                   | 0.25  | 0.27  | 0.30  |
| <b>K<sub>2</sub>O</b>              | 8.08                 | 7.43  | 7.04  | 7.79                   | 8.08  | 7.43  | 7.04  |
| <b>Sum</b>                         | 95.07                | 93.09 | 93.29 | 94.46                  | 95.07 | 93.09 | 93.29 |
| <b>Si</b>                          | 2.66                 | 2.63  | 2.65  | 2.68                   | 2.66  | 2.63  | 2.65  |
| <b>Al<sup>IV</sup></b>             | 1.34                 | 1.37  | 1.35  | 1.32                   | 1.34  | 1.37  | 1.35  |
| <b>Al<sup>VI</sup></b>             | 0.46                 | 0.42  | 0.72  | 0.51                   | 0.46  | 0.42  | 0.72  |
| <b>Mg</b>                          | 0.99                 | 1.01  | 0.86  | 0.97                   | 0.99  | 1.01  | 0.86  |
| <b>Fe<sup>(3+)</sup></b>           | 0.00                 | 0.00  | 0.00  | 0.00                   | 0.00  | 0.00  | 0.00  |
| <b>Fe<sup>(2+)</sup></b>           | 1.35                 | 1.41  | 1.18  | 1.32                   | 1.35  | 1.41  | 1.18  |
| <b>Ti</b>                          | 0.11                 | 0.11  | 0.08  | 0.08                   | 0.11  | 0.11  | 0.08  |
| <b>Mn</b>                          | 0.01                 | 0.01  | 0.01  | 0.01                   | 0.01  | 0.01  | 0.01  |
| <b>Ca</b>                          | 0.00                 | 0.01  | 0.00  | 0.01                   | 0.00  | 0.01  | 0.00  |
| <b>Na</b>                          | 0.04                 | 0.04  | 0.04  | 0.04                   | 0.04  | 0.04  | 0.04  |
| <b>K</b>                           | 0.79                 | 0.74  | 0.68  | 0.76                   | 0.79  | 0.74  | 0.68  |
| <b>Sum</b>                         | 34.79                | 33.53 | 34.90 | 34.94                  | 34.79 | 33.53 | 34.90 |

جدول ۴- نتایج حاصل از تجزیه نقطه‌ای گارنت موجود در سنگ‌های میگماتیتی منطقه بروجرد (شمال پهنه سندج - سیرجان) به همراه محاسبه فرمول ساختاری و اعضای نهایی آن.

| Sample No.                         | migmatite rocks GH13 |        | schist migmatites HM23 |        |        |        |
|------------------------------------|----------------------|--------|------------------------|--------|--------|--------|
| Mineral Type                       | Grt                  | Grt    | Grt                    | Grt    | Grt    | Grt    |
| Analysis No.                       | 19                   | 20     | 21                     | 9      | 10     | 11     |
| <b>SiO<sub>2</sub></b>             | 36.00                | 35.90  | 35.30                  | 36.00  | 36.20  | 36.00  |
| <b>Al<sub>2</sub>O<sub>3</sub></b> | 21.00                | 21.10  | 20.60                  | 0.00   | 0.00   | 0.10   |
| <b>MgO</b>                         | 1.70                 | 1.69   | 1.57                   | 21.00  | 21.00  | 21.00  |
| <b>FeO</b>                         | 34.00                | 35.90  | 36.70                  | 28.00  | 28.10  | 28.00  |
| <b>TiO<sub>2</sub></b>             | 0.00                 | 0.04   | 0.08                   | 13.00  | 12.80  | 12.00  |
| <b>MnO</b>                         | 6.30                 | 4.54   | 3.91                   | 0.80   | 1.22   | 1.00   |
| <b>CaO</b>                         | 1.10                 | 1.15   | 1.14                   | 1.30   | 1.14   | 1.30   |
| <b>Na<sub>2</sub>O</b>             | 0.00                 | 0.03   | 0.02                   | 0.00   | 0.02   | 0.00   |
| <b>K<sub>2</sub>O</b>              | 0.00                 | 0.00   | 0.01                   | 0.00   | 0.00   | 0.00   |
| <b>Sum</b>                         | 100.00               | 101.00 | 99.30                  | 100.00 | 101.00 | 100.00 |
| <b>Si</b>                          | 3.00                 | 2.93   | 2.93                   | 3.00   | 2.96   | 3.00   |
| <b>Al</b>                          | 2.00                 | 2.03   | 2.01                   | 2.00   | 2.02   | 2.00   |
| <b>Mg</b>                          | 0.20                 | 0.21   | 0.19                   | 0.10   | 0.15   | 0.10   |
| <b>Fe</b>                          | 2.30                 | 2.45   | 2.54                   | 2.00   | 1.92   | 1.90   |
| <b>Ti</b>                          | 0.00                 | 0.00   | 0.00                   | 0.00   | 0.00   | 0.00   |
| <b>Mn</b>                          | 0.40                 | 0.31   | 0.27                   | 0.90   | 0.88   | 0.90   |
| <b>Ca</b>                          | 0.10                 | 0.10   | 0.10                   | 0.10   | 0.10   | 0.10   |
| <b>Na</b>                          | 0.00                 | 0.00   | 0.00                   | 0.00   | 0.00   | 0.00   |
| <b>K</b>                           | 0.00                 | 0.00   | 0.00                   | 0.00   | 0.00   | 0.00   |
| <b>Sum</b>                         | 8.00                 | 8.05   | 8.06                   | 8.00   | 8.03   | 8.00   |
| <b>Pyrope</b>                      | 6.80                 | 6.71   | 6.23                   | 3.20   | 4.87   | 3.90   |
| <b>Almandine</b>                   | 76.00                | 79.80  | 81.70                  | 64.00  | 62.90  | 64.00  |
| <b>Grossular</b>                   | 3.20                 | 3.26   | 3.25                   | 3.60   | 3.27   | 3.70   |
| <b>Spessartine</b>                 | 14.00                | 10.20  | 8.82                   | 29.00  | 28.90  | 29.00  |

جدول ۵- نتایج حاصل از تجزیه نقطه‌ای کلریت و کردیریت موجود در سنگ‌های میگماتیتی منطقه بروجرد (شمال پهنه سندج - سیرجان) به همراه محاسبه فرمول ساختاری.

| Sample No.                     | schist migmatites HM23 |       | migmatite rocks GH13 |       |       |
|--------------------------------|------------------------|-------|----------------------|-------|-------|
| Mineral Type                   | Chl                    | Chl   | Crd                  | Crd   | Crd   |
| Analysis No.                   | 4                      | 5     | 22                   | 23    | 24    |
| SiO <sub>2</sub>               | 24.20                  | 25.50 | 47.92                | 47.38 | 47.60 |
| TiO <sub>2</sub>               | 0.01                   | 0.00  | 0.01                 | 0.00  | 0.00  |
| Al <sub>2</sub> O <sub>3</sub> | 22.96                  | 23.05 | 32.65                | 32.77 | 32.64 |
| FeO                            | 25.37                  | 23.79 | 10.44                | 10.44 | 10.15 |
| MnO                            | 0.38                   | 0.32  | 0.45                 | 0.39  | 0.46  |
| MgO                            | 12.00                  | 10.56 | 6.58                 | 6.68  | 6.68  |
| CaO                            | 0.15                   | 0.15  | 0.00                 | 0.01  | 0.01  |
| Na <sub>2</sub> O              | 0.03                   | 0.03  | 0.51                 | 0.42  | 0.44  |
| K <sub>2</sub> O               | 1.40                   | 2.52  | 0.03                 | 0.02  | 0.01  |
| H <sub>2</sub> O               | -                      | -     | 1.43                 | 1.42  | 1.42  |
| Sum                            | 86.50                  | 85.89 | 100.02               | 99.53 | 99.41 |
| Si                             | 5.19                   | 5.44  | 4.96                 | 4.93  | 4.95  |
| Al <sup>iv</sup>               | 2.81                   | 2.56  | -                    | -     | -     |
| Al <sup>vi</sup>               | 3.04                   | 3.31  | -                    | -     | -     |
| Al                             | -                      | -     | 3.98                 | 4.02  | 4.01  |
| Ti                             | 0.00                   | 0.00  | 0.00                 | 0.00  | 0.00  |
| Fe <sup>3+</sup>               | 0.00                   | 0.10  | 0.18                 | 0.18  | 0.18  |
| Fe <sup>2+</sup>               | 4.59                   | 4.14  | 0.72                 | 0.73  | 0.71  |
| Mn                             | 0.07                   | 0.06  | 0.04                 | 0.03  | 0.04  |
| Mg                             | 3.83                   | 3.36  | 1.02                 | 1.04  | 1.04  |
| Ni                             | 0.00                   | 0.00  | -                    | -     | -     |
| Ca                             | 0.03                   | 0.03  | 0.00                 | 0.00  | 0.00  |
| Na                             | 0.03                   | 0.03  | 0.10                 | 0.09  | 0.09  |
| K                              | 0.77                   | 1.37  | 0.00                 | 0.00  | 0.00  |
| Sum                            | 20.36                  | 20.40 | 11.01                | 11.02 | 11.00 |

جدول ۶- نتایج حاصل از تجزیه نقطه‌ای آلومینوسیلیکات‌های موجود در سنگ‌های میگماتیتی منطقه بروجرد (شمال پهنه سندج - سیرجان) به همراه محاسبه فرمول ساختاری.

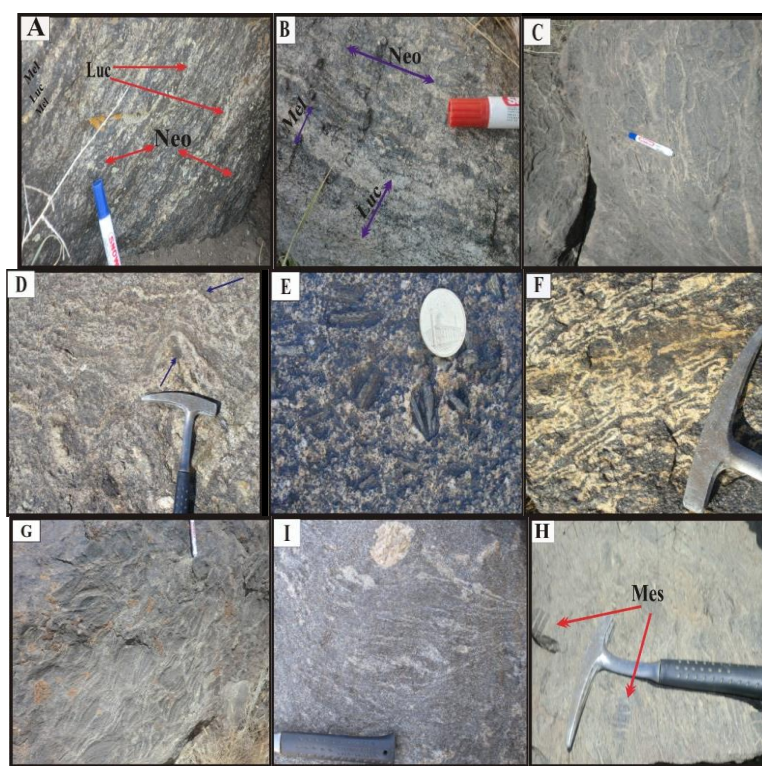
| Sample No.                     | Migmatite rocks GH13 |        |        |       |        |        |
|--------------------------------|----------------------|--------|--------|-------|--------|--------|
| Mineral Type                   | and                  | and    | and    | Sil   | Sil    | Sil    |
| Analysis No.                   | 26                   | 27     | 36     | 31    | 32     | 33     |
| SiO <sub>2</sub>               | 35.62                | 35.85  | 36.03  | 35.61 | 36.43  | 35.54  |
| TiO <sub>2</sub>               | 0.02                 | 0.02   | 0.01   | 0.00  | 0.00   | 0.00   |
| Al <sub>2</sub> O <sub>3</sub> | 64.35                | 64.34  | 64.52  | 64.12 | 64.23  | 64.40  |
| FeO                            | 0.21                 | 0.22   | 0.23   | 0.15  | 0.14   | 0.08   |
| MnO                            | 0.00                 | 0.00   | 0.00   | 0.00  | 0.00   | 0.01   |
| MgO                            | 0.02                 | 0.01   | 0.00   | 0.00  | 0.01   | 0.02   |
| CaO                            | 0.00                 | 0.01   | 0.03   | 0.02  | 0.01   | 0.02   |
| Na <sub>2</sub> O              | 0.03                 | 0.01   | 0.00   | 0.02  | 0.00   | 0.00   |
| K <sub>2</sub> O               | 0.01                 | 0.02   | 0.00   | 0.01  | 0.01   | 0.00   |
| Sum                            | 100.26               | 100.50 | 100.82 | 99.93 | 100.83 | 100.07 |
| Si                             | 0.96                 | 0.96   | 0.97   | 0.96  | 0.98   | 0.96   |
| Ti                             | 0.00                 | 0.00   | 0.00   | 0.00  | 0.00   | 0.00   |
| Al                             | 2.05                 | 2.04   | 2.04   | 2.05  | 2.03   | 2.05   |
| Fe <sup>(3+)</sup>             | 0.00                 | 0.00   | 0.01   | 0.00  | 0.00   | 0.00   |
| Fe <sup>(2+)</sup>             | 0.01                 | 0.01   | 0.00   | 0.00  | 0.00   | 0.00   |
| Mn                             | 0.00                 | 0.00   | 0.00   | 0.00  | 0.00   | 0.00   |
| Mg                             | 0.00                 | 0.00   | 0.00   | 0.00  | 0.00   | 0.00   |
| Ca                             | 0.00                 | 0.00   | 0.00   | 0.00  | 0.00   | 0.00   |
| Na                             | 0.00                 | 0.00   | 0.00   | 0.00  | 0.00   | 0.00   |
| K                              | 0.00                 | 0.00   | 0.00   | 0.00  | 0.00   | 0.00   |
| Sum                            | 3.02                 | 3.01   | 3.01   | 3.01  | 3.01   | 3.01   |

جدول ۷- نتایج حاصل از تجزیه XRF سنگ‌های میگماتیتی منطقه بروجرد (شمال پهنه سندج - سیرجان) (اکسید عناصر اصلی بر حسب درصد وزنی و عناصر فرعی بر حسب ppm).

| Sample No.                     | DH-3            | DH-21 | GH-8  | MH-41 | MH-81 | GH-6                | MH-7  | MH-51 | MH-23             | DH-10 |
|--------------------------------|-----------------|-------|-------|-------|-------|---------------------|-------|-------|-------------------|-------|
| Rock Type                      | Migmatite rocks |       |       |       |       | Hornfels migmatites |       |       | Schist migmatites |       |
| SiO <sub>2</sub>               | 63.06           | 62.14 | 61.72 | 74.35 | 74.42 | 61.10               | 63.30 | 64.68 | 54.68             | 64.21 |
| Al <sub>2</sub> O <sub>3</sub> | 18.04           | 18.28 | 16.28 | 12.55 | 13.05 | 18.82               | 17.91 | 17.26 | 17.57             | 17.56 |
| Fe <sub>2</sub> O <sub>3</sub> | 6.34            | 7.14  | 7.44  | 4.73  | 3.84  | 6.89                | 6.99  | 6.98  | 6.86              | 6.94  |
| CaO                            | 0.50            | 0.36  | 0.87  | 0.98  | 0.23  | 0.36                | 0.81  | 0.51  | 11.65             | 0.45  |
| Na <sub>2</sub> O              | 1.42            | 0.98  | 1.05  | 1.61  | 1.53  | 1.12                | 1.37  | 1.45  | 2.90              | 1.64  |
| K <sub>2</sub> O               | 3.24            | 3.68  | 3.42  | 2.12  | 2.03  | 3.61                | 3.50  | 3.86  | 0.53              | 4.00  |
| MgO                            | 1.85            | 2.05  | 2.04  | 1.39  | 1.47  | 2.25                | 2.38  | 2.04  | 3.01              | 2.13  |
| TiO <sub>2</sub>               | 0.76            | 0.81  | 0.92  | 0.59  | 0.55  | 0.77                | 0.75  | 0.79  | 0.66              | 0.79  |
| MnO                            | 0.14            | 0.14  | 0.17  | 0.13  | 0.09  | 0.28                | 0.13  | 0.16  | 0.20              | 0.17  |
| P <sub>2</sub> O <sub>5</sub>  | 0.12            | 0.13  | 0.13  | 0.13  | 0.08  | 0.07                | 0.12  | 0.18  | 0.07              | 0.12  |
| SO <sub>3</sub>                | 0.12            | 0.16  | 0.16  | 0.09  | 0.16  | 0.17                | 0.15  | 0.14  | 0.16              | 0.13  |
| L.O.I.                         | 3.89            | 3.66  | 1.44  | 0.87  | 1.97  | 4.21                | 2.10  | 1.70  | 1.39              | 1.46  |
| Sum                            | 99.48           | 99.52 | 95.64 | 99.55 | 99.41 | 99.65               | 99.51 | 99.75 | 99.67             | 99.56 |
| Cl                             | 63              | 101   | 56    | 171   | 118   | 59                  | 60    | 194   | 276               | 203   |
| Ba                             | 498             | 478   | 502   | 288   | 322   | 427                 | 405   | 524   | 146               | 430   |
| Sr                             | 128             | 74    | 119   | 133   | 56    | 86                  | 115   | 136   | 610               | 120   |
| Cu                             | 40              | 29    | 34    | 30    | 54    | 18                  | 23    | 10    | 16                | 22    |
| Zn                             | 405             | 115   | 144   | 69    | 246   | 114                 | 130   | 126   | 235               | 459   |
| Pb                             | 240             | 14    | 42    | 24    | 138   | 15                  | 29    | 29    | 127               | 246   |
| Ni                             | 79              | 92    | 87    | 64    | 49    | 91                  | 73    | 81    | 91                | 78    |
| Cr                             | 81              | 102   | 120   | 88    | 78    | 90                  | 114   | 113   | 110               | 93    |

لخته‌ای، دیکتیونیتیک، خال‌دار و شلیرن را دربرمی‌گیرند. بر اساس تقسیم بندی ۱۲ گانه (Mehnert, 1968)، فابریک‌های استروماتیک، دیکتیونیتیک، چین‌خورد، لخته‌ای، پتیگماتیک، فلتیک (رگه‌ای)، شولن و شلیرن در میگماتیت‌های منطقه بروجرد به صورت غالب و در مقیاس شایان توجهی دیده می‌شوند (شکل ۲). بر اساس بررسی‌های ساختاری و میکروسکوپی، مجموعه میگماتیتی منطقه تقریباً ۵۷ درصد میگماتیت، ۱۷ درصد میگماتیت تحول یافته از شیست‌ها و ۲۶ درصد میگماتیت تحول یافته از هورنفلس‌ها را شامل می‌شود که تنوع ساختاری و کانی‌شناسی قابل توجهی دارند.

**پتروگرافی و پتروفابریک میگماتیت‌ها**  
میگماتیت‌های شمال شرقی (اطراف روستاهای دودانگه و قپانوری) و جنوب شرقی (اطراف روستای مالمیر) بروجرد بررسی شدند. از نظر ماکروسکوپی، میگماتیت‌های مالمیر به ترتیب فراوانی ساختارهای لخته‌ای، چین‌خورد، پتیگماتیتی، استروماتیک، شلیرن، آفتالمیک، سوریتیک، نبولیتی و دیکتیونیتیک را شامل می‌شوند. میگماتیت‌های دودانگه در بردارنده ساختارهای فلتیک (رگه‌ای)، دیکتیونیتیک، شولن، شلیرن، استروماتیک، استیکتیولیتیک (خال‌دار) و اگماپیتیک هستند.  
میگماتیت‌های قپانوری نیز ساختارهای



شکل ۲- تصاویر ماکروسکوپی ساختار سنگ‌های میگماتیتی منطقه بروجرد (شمال پهنه سندج - سیرجان). (A) میگماتیت‌های استروماتیک که لوکوسوم کوچکی دارند؛ (B) میگماتیت‌های استروماتیک که لوکوسوم‌های بزرگ‌تری دارند (لوکوسوم: Luc، ملانوسوم: Mel، نئوسوم: Neo)؛ (C) میگماتیت‌های دیکتیونیتیک؛ (D) میگماتیت‌های چین خورده (به گره و بطن‌های موجود در لوکوسوم‌ها توجه شود)؛ (E) میگماتیت‌های لخته‌ای که منشورهای آندالوزیت شناور در زمینه میگماتیت به صورت تقریباً جهت‌دار هستند؛ (F) میگماتیت‌های پتیگماتیکی که لوکوسوم‌ها در آن مانند روده انسان پیچ و تاب خورده‌اند؛ (G) میگماتیت‌های فلبتیک (رگه‌ای)؛ (H) میگماتیت‌های شولن که در آنها قطعات مزوسم مانند دسته‌های الار (کلک) در نئوسوم شناورند؛ (I) میگماتیت‌های شلیرن.

میزان کم با بافت پویی کیلوبلاستیک، گارنت، بیوتیت، فیبرولیت و سیلیمانیت، آندالوزیت به صورت کیاستولیت و سرسیتی شده، مسکوویت‌های ثانوی، کلریت، کردیریت و کوارتز غنی هستند (شکل ۳- A). لوکوسوم‌های نوع دوم از پتاسیم فلدسپار، بیوتیت، مسکوویت، سیلیمانیت منشوری، تورمالین، گارنت، آندالوزیت سرسیتی شده، کلریت، زیرکن به صورت ادخال و گاه کردیریت در حال پنیتی شدن غنی هستند (شکل‌های ۳- B تا ۳- F). گسترش ملانوسوم‌ها در دودانگه بیشتر از قپان‌وری و مالمیر است. به عبارت دیگر تفکیک لوکوسوم از ملانوسوم به راحتی ممکن است. اما در مالمیر و قپان‌وری گسترش ملانوسوم در این سنگ‌ها ناچیز است و در برخی موارد سنگ بدون ملانوسوم است. در ملانوسوم‌ها بافت لپیدوبلاستیک که از

میگماتیت‌ها: میگماتیت‌ها که بیشترین درصد را به خود اختصاص داده‌اند در اطراف روستاهای دودانگه، قپان‌وری و مالمیر مشاهده می‌شوند و تقریباً همه ساختارهای ماکروسکوپی را نشان می‌دهند. در این مناطق، لوکوسوم‌ها معمولاً بافت سنگ‌های آذرین و بافتی شبیه گرانیت‌ها را دارند که به صورت رگه‌های نامنظم در حد چند سانتی‌متر توسعه یافته‌اند. آنها از کوارتز، پلازیوکلاز، آلکالی‌فلدسبار، بیوتیت، مسکوویت و کانی‌های تیره تشکیل شده‌اند و بافت پرتیت، پویی کیلوبلاستیک، گرانوبلاستیک و میرمکیتی دارند. لوکوسوم‌ها دو نوع لوکوسوم‌های پلازیوکلازدار (شکل ۳- A) و لوکوسوم‌های آلکالی‌فلدسبار (شکل ۳- B) را شامل می‌شوند. لوکوسوم‌های نوع اول از پلازیوکلاز، پتاسیم فلدسبار به

.Grt+Bt+Thr±Ms و And+Sil+Bt±Ms

شیست‌های میگماتیتی: شیست‌های میگماتیتی که از شیست تحول یافته‌اند در مناطق مالمیر و دودانگه به مقدار اندک مشاهده می‌شوند و بر اساس شکل به ساختارهای استروماتیک، لخته‌ای، چین‌خورده و در مواردی شلیرن تقسیم می‌شوند. لایه‌بندی ترکیبی که از تفکیک بخش‌های کوارتز - فلدسپاتی و میکایی ناشی است و برگوارگی به خوبی توسعه یافته ناشی از ردیف‌شدگی میکاها در برخی نمونه‌ها مشاهده می‌شود. این سنگ‌ها ساخت دانه‌درشت تشکیل شده از پورفیروبلاستهای گارنت و دانه‌های کوارتز، آکالی‌فلدسپار، پلاژیوکلاز، بیوپیت، مسکوویت و گاهی اوقات فیبرولیت (سیلیمانیت رشته‌ای) دارند. این میگماتیت‌ها در بردارنده سه بخش مزوسم، روشن یا گرانیتی (لوکوسوم) و تیره یا شیستی (ملانوسوم) هستند. بخش مزوسم، بافت‌های پورفیروبلاستیک و لپیدوبلاستیک متوسط تا دانه‌درشت شامل کانی‌های کوارتز، فلدسپار، بیوپیت، مقدار کمی مسکوویت، گارنت و فیبرولیت (سیلیمانیت رشته‌ای) دارد (شکل‌های ۴- A، B و E). بخش روشن (لوکوسوم)، ترکیب گرانیتی و بافت‌های دانه‌ای و آپلیتی تشکیل شده از کانی‌های کوارتز، بیوپیت، مسکوویت، آکالی‌فلدسپار و پلاژیوکلاز دارد (شکل‌های ۴- C، D، F). ملانوسوم به مقدار بسیار اندک در برخی مقاطع که عمدتاً از تجمع کانی‌های بیوپیت و به صورت چین‌خورده، خمیده و تاب‌دار تشکیل شده‌اند، مشاهده می‌شود (شکل‌های ۴- C و D). در برخی نمونه‌ها ساختار شلیرن و لخته‌ای دیده می‌شود. کانی‌های پارازیتی در حال تعادل شیست‌های میگماتیتی در بخش لوکوسوم، Grt±Bt+Pl+Qtz±Ms و Kfs±Bt+Pl+Ms+Fi و Pl±Ms+Bt+Kfs+Qtz Kfs±Bt+Pl+Ms+Ft و Ms+Bt+Pl+Grt±Chl هستند.

متوالی قرار گرفتن بلورهای بیوپیت تاب‌دار یا کیک‌باندشده به وجود آمده است (شکل ۳-C) و پورفیروبلاستیک و لپیدوبلاستیک که بر اثر حضور بلورهای شکل‌دار تا بی‌شکل گارنت، آندالوزیت و تورمالین در کنار بیوپیت به وجود آمده‌اند (شکل‌های ۳-A، C و D)، دیده می‌شود. تورمالین ملانوسوم‌ها می‌تواند از سیالات گرمابی ناشی باشد؛ زیرا روی فولیاسیون سنگ به طور تصادفی (رندهم) قرار گرفته است و نشان‌دهنده آن است که مذاب به طور محلی تراوش یافته است. مزوسم‌ها عمولاً بافت پورفیروبلاستیک، لپیدوبلاستیک، گرانوبلاستیک و گاه بافت‌های ترکیبی گرانولپیدوبلاستیک، لپیدوگرانوبلاستیک، پورفیروبلاستیک و لپیدوبورفیروبلاستیک نشان می‌دهند. در مزوسم‌ها علاوه بر کانی‌های تیره، بیشتر کانی‌های تشکیل‌دهنده بخش روشن نیز مشاهده می‌شود. کانی‌های آندالوزیت به صورت شکل‌دار تا نیمه‌شکل‌دار و به صورت تکه‌تکه و خردشده، کیاستولیت با ادخال‌های فراوان (شکل‌های ۳-A، C و E) و کردیریت به صورت بلورهای شکسته و در حال پنیتی‌شدن در حاشیه‌های زمینه سنگ پراکنده‌اند (شکل ۳-F). بلورهای گارنت به صورت شکل‌دار تا نیمه‌شکل‌دار و شکسته نیز دیده می‌شوند (شکل‌های ۳-A و F). سیلیمانیت‌های سوزنی با برجستگی بالا و فیبرولیت‌ها که به جای بیوپیت‌ها به وجود آمده‌اند و فیبرولیت‌هایی که از تبدیل آندالوزیت به وجود آمده‌اند در برخی مقاطع نیز دیده می‌شود (شکل‌های ۳-A، C و E). کانی‌های پارازیتی در حال تعادل سنگ‌های میگماتیتی عبارتند از: در بخش لوکوسوم:

Ms±Pl±Bt+Kfs+Qtz و Bt+Pl+Qtz±Ms

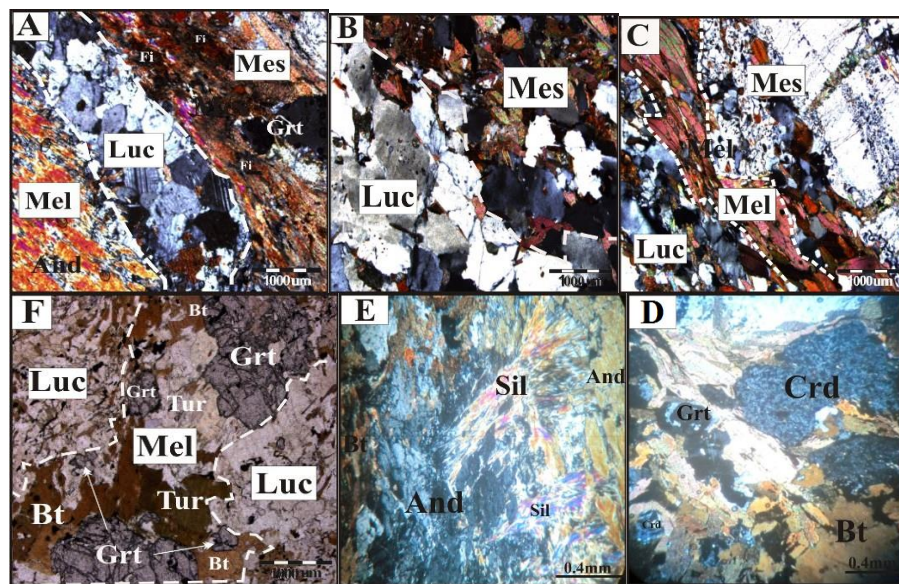
در بخش مزوسم:

Crd+Sill+And+Kfs+Bt±Grt±Ms

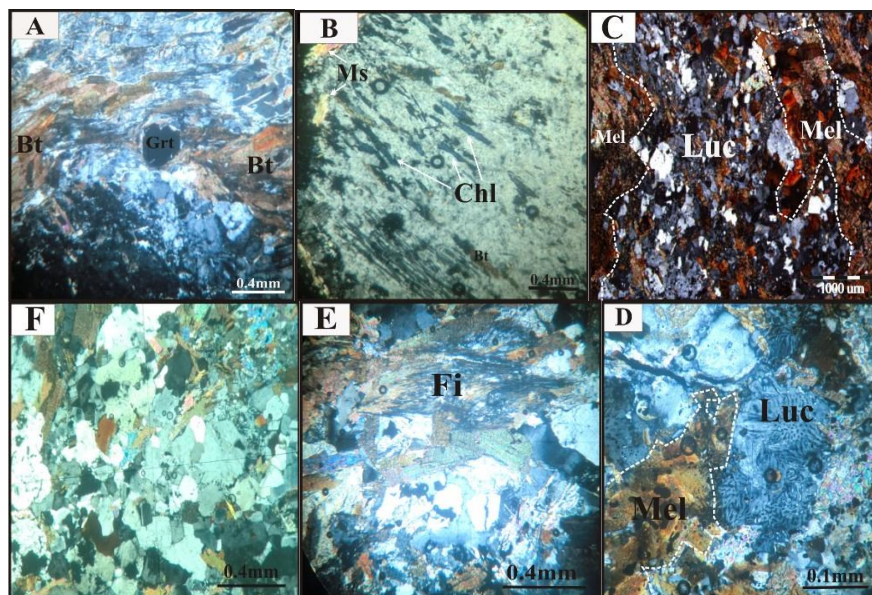
And+Ms+Bt+Pl±Kfs±Sill

And+Grt+Fi+Pl+Ms+Bt

و در بخش ملانوسوم:



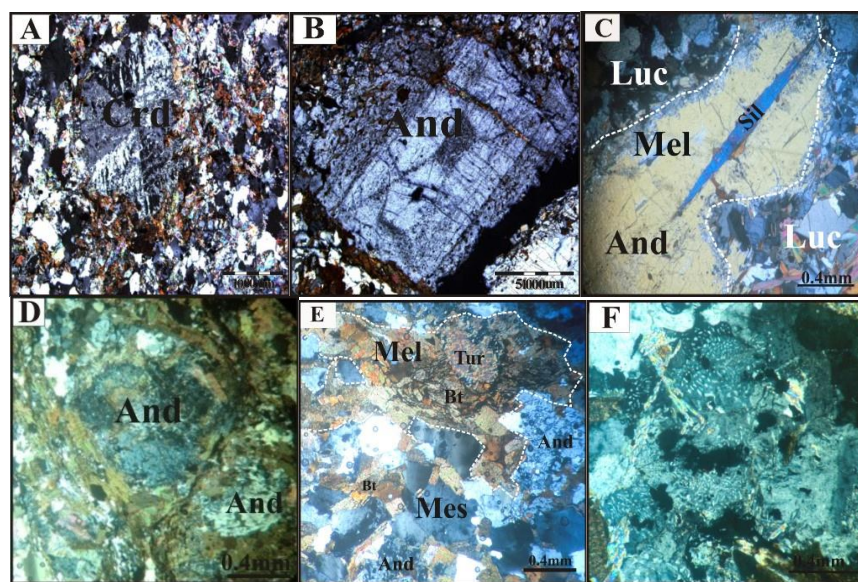
شکل ۳- تصاویر میکروسکوپی سنگ‌های میگماتیتی منطقه بروجرد (شمال پهنه سندج - سیرجان). (A) توالی لوکوسوم (Luc) پلازیوکلار، ملانوسوم (Mel) و مزووسوم (Mes) در سنگ؛ (B) توالی لوکوسوم آلکالی‌فلدسپار و مزووسوم در سنگ؛ (C) توالی لوکوسوم، ملانوسوم و مزووسوم که بیوتیت در آن چین خورده است؛ (D) لایه نتووسوم که دربردارنده یک لایه ملانوسوم غنی از گارنت (Grt)، تورمالین (Tur)، بیوتیت (Bt) و دو لایه لوکوسوم است؛ (E) لایه مزووسوم با سیلیمانیت‌های منشوری (Sil) که بالاترین درجه دگرگونی را نشان می‌دهد؛ (F) لایه مزووسوم که کردیریت (Crd) به صورت تجزیه‌شده، شکسته شده و ادخال در میان بیوتیتها دیده می‌شود. نام اختصاری کانی‌ها برگرفته از Kretz (۱۹۸۳) است.



شکل ۴- تصاویر میکروسکوپی از شیسته‌های میگماتیتی منطقه بروجرد (شمال پهنه سندج - سیرجان)، (A) لایه مزووسوم که بیوتیتها در اطراف بلور گارنت به صورت سایه فشارشی دیده می‌شوند و سنگ، برگوارگی دارد؛ (B) لایه مزووسوم که دربردارنده کلریت (Chl)، مسکوویت (Ms) و بیوتیت است، (C) لایه‌بندی ترکیبی در شیسته‌های میگماتیتی (به جهت یافته‌گی تقليدي و رشد دانه‌ها در فابریک قبلی سنگ توجه شود)؛ (D) یک لایه لوکوسوم با بافت گرلوفیری و یک لایه ملانوسوم که از بیوتیت غنی هستند؛ (E) لایه مزووسوم (به فیبرولیت (Fi) در آن توجه شود)؛ (F) لایه لوکوسوم با بافت گرانیتی دربردارنده کوارتز و آلکالی‌فلدسپار فراوان که می‌تواند نشان‌دهنده ترکیب نقطه اتفاقیک باشد.

و E). بخش مزوسوم نیز دربردارنده کانی‌های روشن و تیره است (شکل‌های ۵-۵ A تا E). شواهد پتروگرافی نشان می‌دهد که در این سنگ‌ها سیلیمانیت، هم به صورت منشوری و هم فیبرولیتی دیده می‌شود. به نظر می‌رسد که فیبرولیت‌ها به طور مستقیم از بیوتیت‌ها و سیلیمانیت منشوری ممکن است از فیبرولیت‌های قبلی نیز به وجود آمده باشد. علاوه بر این بیوتیت، پتاسیم‌فلدسپار، فیبرولیت و گارنت نیز در زمینه سنگ دیده می‌شوند. کانی‌های پاراژنزی در حال تعادل هورنفلس‌های میگماتیتی در بخش لوکوسوم:  $Bt+Kfs+Qtz \pm Pl \pm Ms$  و  $Bt+Pl+Qtz \pm Ms$ ،  $Crd+Bt+Kfs \pm And \pm Ms$ ،  $And+Bt+Pl \pm Ms$  مزوسوم:  $Grt+Ms+Bt+Pl$  و  $Sil+And+Ms+Kfs \pm Pl$  ملانوسوم به مقدار کم، بیوتیت و تورمالین و در برخی موارد  $And+Sil+Bt \pm Ms$  هستند.

**هورنفلس‌های میگماتیتی:** این سنگ‌ها که از هورنفلس‌ها تحول یافته‌اند در مناطق مالمیر و به مقدار کم در قپان وری مشاهده می‌شوند و بر اساس شکل به ساختارهای لخته‌ای و شلیرن تقسیم می‌شوند. هورنفلس‌های میگماتیتی، ساخت دانه‌درشت با بافت گرانوبلاستیک و در برخی موارد لپیدوگرانوبلاستیک تشکیل شده از پورفیروبلاست‌های آندالوزیت، کردیریت، سیلیمانیت و گارنت به مقدار کم و دانه‌های کوارتز، آلکالی‌فلدسپار، پلازیوکلاز، بیوتیت و مسکوویت دارند. بخش‌های روشن (لوکوسوم) این نوع میگماتیتها، کانی‌های کوارتز، آلکالی‌فلدسپار، بیوتیت، پلازیوکلاز به مقدار کم و مسکوویت است (شکل‌های ۵-۵ D، C و F). بخش ملانوسوم به مقدار اندک عمده‌تر از کانی‌های بیوتیت تشکیل شده است و در مواردی تورمالین، آندالوزیت و سیلیمانیت نیز در آن وجود دارد (شکل‌های ۵-۵ E و F).



شکل ۵- تصاویر میکروسکوپی از هورنفلس میگماتیتها در منطقه بروجرد (شمال پهنه سندج - سیرجان). (A) لایه مزوسوم دارنده کردیریت با ماکل پروانه‌ای؛ (B) لایه مزوسوم دربردارنده آندالوزیت (And) به صورت کیاستولیت با ادخال‌های بیوتیت، مسکوویت و سیلیمانیت؛ (C) دو لایه لوکوسوم و یک لایه مزوسوم با آندالوزیت با سیلیمانیت‌های منشوری؛ (D) یک لایه مزوسوم (به بیوتیت‌ها به صورت ریزچین و چین خورده اطراف پورفیروبلاست آندالوزیت توجه شود)؛ (E) یک لایه ملانوسوم غنی از بیوتیت و تورمالین با یک لایه مزوسوم؛ (F) بافت میرمکیتی و گرانوفیری در لایه لوکوسوم.

پتاسیم ( $\text{Ab}=4$ ،  $\text{Or}=6$  و  $\text{Ab}=93$ ) است (شکل ۷).

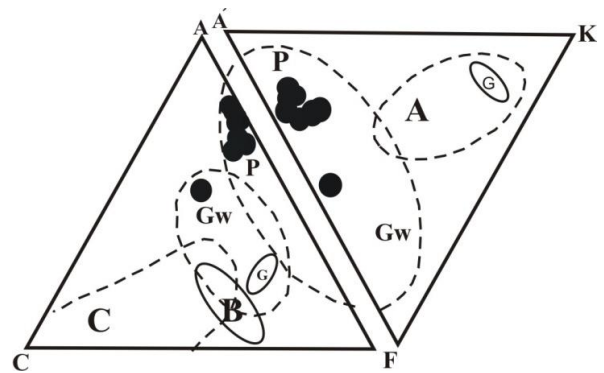
**مسکوویت:** بر اساس نمودارهای سه تایی  $\text{Al}_2\text{O}_3$ - $\text{K}_2\text{O}$ - $\text{FeO}+\text{MgO}$  (Vidal and Parra, 2000) و  $\text{SiO}_2$ - $\text{FeO}$ - $\text{Al}_2\text{O}_3$  (SAF) (Shukla et al., 2000) عضو نهایی در میگماتیت ها (شکل ۷ و ۸) عمدتاً سلادونیت است که جانشینی شایان توجهی از  $\text{Mg}=\text{Fe}^{2+}$  ترکیب آن را به سمت سلادونیت آهن دار تغییر می دهد. مسکوویت در شیستهای میگماتیتی عمدتاً از ۹۶ تا ۹۸ درصد مولی قطب مسکوویت و ۱/۷ از ۴ درصد مولی قطب پاراگونیت و در میگماتیت ها از ۸۱ تا ۸۳ درصد مولی مسکوویت و ۱۷ تا ۲۰ درصد مولی پاراگونیت تشکیل شده است. مقدار  $\text{Al}_2\text{O}_3$  این کانی به ۳۵/۶ درصد وزنی می رسد. کسر مولی منیزیم این کانی در شیستهای میگماتیتی (۰/۵ تا ۰/۰۶) بیشتر از میگماتیت ها (۰/۰۶ تا ۰/۰۸) است.

**گارفت:** این کانی طبق نمودار سه تایی  $\text{Mn}+\text{Ca}$ - $\text{Fe}^{2+}$  و  $\text{Fe}^{2+}$  (Coleman et al., 1965) از آلماندن غنی است (شکل ۷)، به طوری که در شیستهای میگماتیتی مقدار آلماندن گارنت در حدود ۶۴ تا ۶۲ درصد و در میگماتیت ها ۶۴ تا ۸۲ درصد مولی است، ولی مقدار پیروپ و گروسولار آن کم است (در شیستهای میگماتیتی پیروپ ۳/۲ تا ۴/۸ و گروسولار ۳/۲ تا ۳/۷ درصد مولی، و در میگماتیت ها، پیروپ از ۵/۳ تا ۶/۷ و گروسولار از ۱/۹ تا ۳/۴ درصد مولی متغیر است). مقدار اسپسارتین ۲۸ تا ۲۹ درصد مولی در شیستهای میگماتیت ها است و در میگماتیت ها طیف تغییرات گسترده ای از ۸/۲ تا ۲۷ درصد مولی دارد.

**کلریت:** بر اساس طبقه بندی Pflumio (۱۹۹۱)، کلریت های مورد مطالعه از نوع دافنیت و پینوکلریت و بر پایه طبقه بندی Vidal و Parra (۲۰۰۰) از نوع دافنیت و کلینوکلر است. نتایج تجزیه شیمیایی نشان می دهد که کلریت ها از عضو نهایی کلینوکلر از طریق جانشینی  $\text{Fe}^{2+}=\text{Mg}$  به سمت عضو نهایی

## تعیین سنگ مادر

پس از تعیین و محاسبه شاخص های  $A'$ ،  $C$ ،  $A$  و  $F$  و بر اساس تجزیه شیمیایی تعداد ۱۰ نمونه از انواع سنگ های میگماتیتی منطقه (جدول ۲)، محل آنها بر روی نمودار  $A'\text{FK}$  و  $A'\text{CF}$  (Winkler, 1976) تصویر شد (شکل ۶). با توجه به نتایج بدست آمده از بررسی های پتروگرافی و نیز موقعیت نمونه ها در این نمودار به خوبی معلوم می شود که سنگ مادر غالب در آنها را سنگ های پلیتی تشکیل می دهند که طی فرایندهای دگرگونی به شیستهای میگماتیتی، هورنفلس های میگماتیتی و میگماتیت ها تبدیل شده اند.



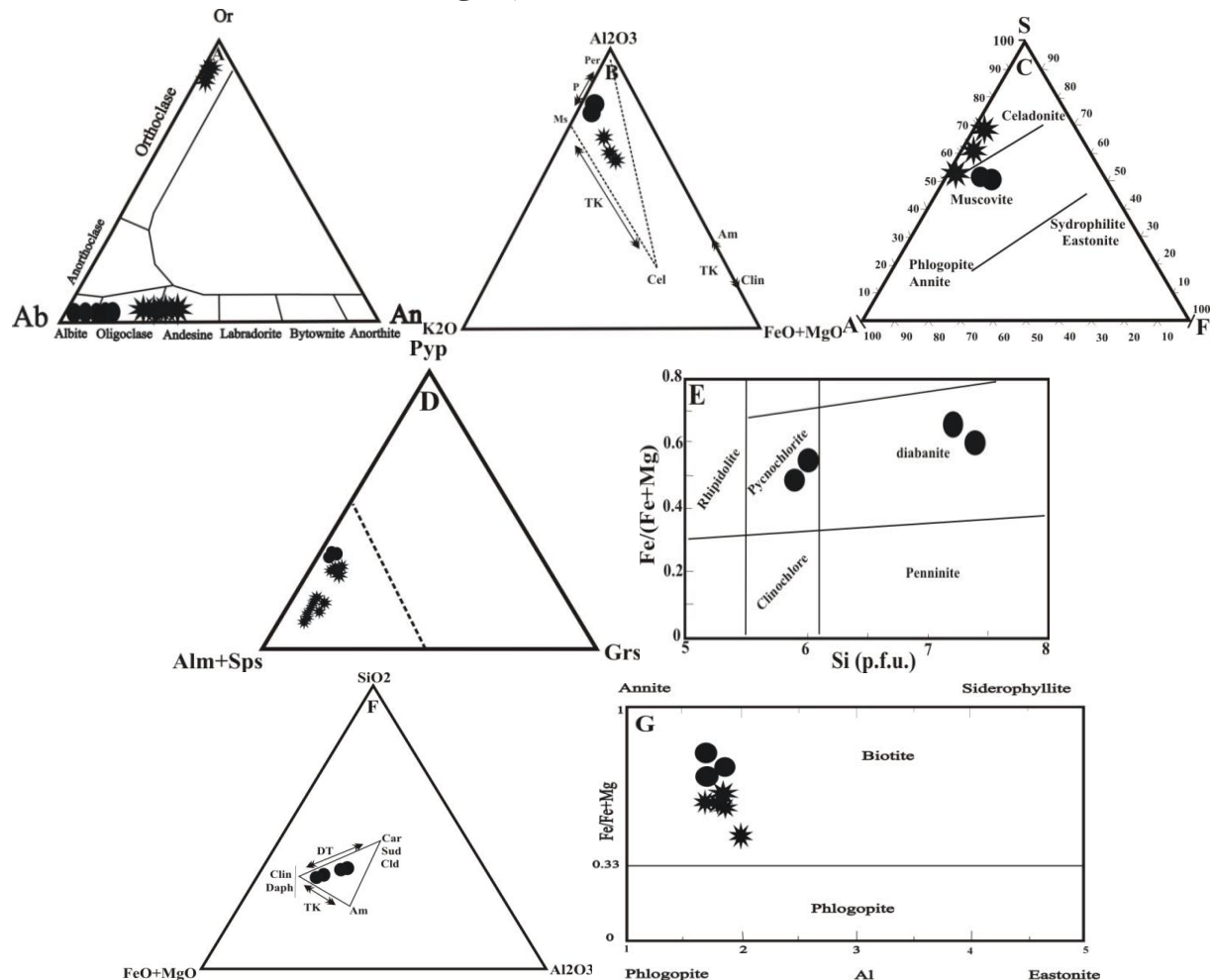
شکل ۶- نمودار  $A'\text{FK}$  و  $A'\text{CF}$  (Winkler, 1976) برای تعیین سنگ مادر سنگ های میگماتیتی منطقه بروجرد (شمال پهنه سندج - سیرجان)  $P$ : سنگ های پلیتی،  $Gw$ : گریوکها،  $G$ : گرانیتوسیدها،  $C$ : سنگ های آهکی،  $B$ : سنگ های بازالتی،  $A$ : آندزیت).

$$\begin{aligned} A &= [\text{Al}_2\text{O}_3] + [\text{Fe}_2\text{O}_3] - ([\text{Na}_2\text{O}] + [\text{K}_2\text{O}]) \\ C &= [\text{CaO}] - 3.3[\text{P}_2\text{O}_5] \\ F &= [\text{FeO}] + [\text{MgO}] + [\text{MnO}] \\ A' &= [\text{Al}_2\text{O}_3] + [\text{Fe}_2\text{O}_3] - ([\text{Na}_2\text{O}] + [\text{K}_2\text{O}] + [\text{CaO}]) \\ K &= [\text{K}_2\text{O}] \end{aligned}$$

## شیمی کانی

**فلدسبار:** نتایج حاصل از تجزیه شیمیایی نشان می دهد که ترکیب پلاژیوکلازها در مزوسوم شیستهای میگماتیتی از آلبیت تا الیگوکلاز (۲ تا ۱۷  $\text{An}=$ ) است و در میگماتیت ها دو نوع فلدسبار دیده می شود. یک نوع، سدیک در رده الیگوکلاز - آندزین (۳۳،  $\text{An}=33$ ،  $\text{Ab}=67$ ) و یک قطب، ارتوكلاز و غنی از

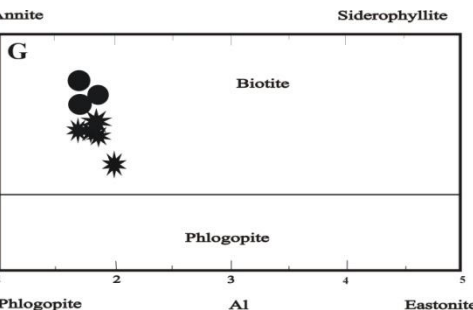
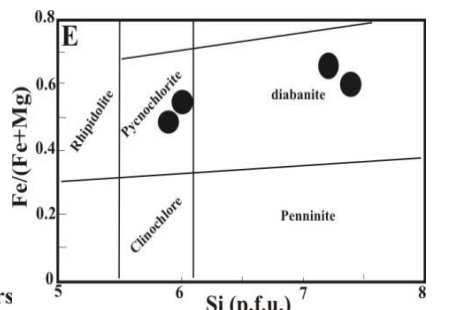
تا  $0.06\%$  و Ti در این کانی از  $0.001\%$  تا صفر اتم در واحد فرمول ساختاری (a.p.f.u.) و یا در حد چشم‌پوشی متغیر است (شکل‌های ۷-۸ و ۹).



شکل ۷- ترکیب شیمیایی کانی‌ها در سنگ‌های میگماتیتی منطقه بروجرد (شمال پهنه سندج - سیرجان). (A) فلدسپار درون شیسته‌های میگماتیتی و سنگ‌های میگماتیتی روی نمودار  $\text{Al}_2\text{O}_3$ - $\text{SiO}_2$ - $\text{FeO}$ - $\text{Al}_2\text{O}_3$  (SAF) (Vidal and Parra, 2000)  $\text{K}_2\text{O}$ - $\text{FeO}$ + $\text{MgO}$  (Vidal and Parra, 2000)  $\text{FeO}$ - $\text{MgO}$  (Coleman *et al.*, 1965)  $\text{Mg}^{2+}$  و  $\text{Fe}^{2+}$  نسبت  $\text{Fe}^{2+}/(\text{Fe}^{2+}+\text{Mg})$  در نمودار سه‌تایی (Parra, 2000) (B) ترکیب شیمیایی گارنت در نمودار سه‌تایی  $\text{SiO}_2$ - $\text{FeO}$ - $\text{Al}_2\text{O}_3$  (Deer *et al.*, 1962) (C) ترکیب شیمیایی مسکوویت روی نمودار سه‌تایی  $\text{K}_2\text{O}$ - $\text{FeO}$ + $\text{MgO}$  (Deer *et al.*, 1962) (D) ترکیب شیمیایی گارنت در نمودار سه‌تایی  $\text{FeO}$ - $\text{MgO}$ - $\text{SiO}_2$  (Pfumio, 1991) (E) نمودار نشان‌دهنده جانشینی در کلریت‌ها (Vidal and Parra, 2000) (F) نمودار نشان‌دهنده جانشینی در فلوگوپیت (Pfumio, 1991) (G) طبقه‌بندی شیمیایی میکاهای سیلیسیومی در کلریت‌ها (Vidal and Parra, 2000) (Dایره = شیست میگماتیت، ستاره = میگماتیت). (Deer *et al.*, 1962; Spear., 1984)

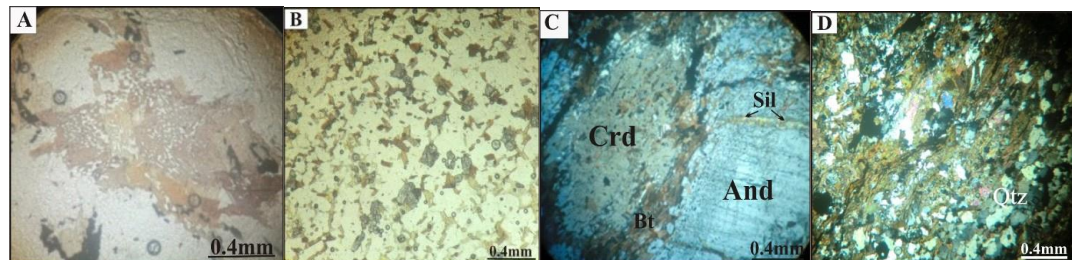
سمت آنیت تغییر می‌دهد. کسر مولی منیزیم این کانی در میگماتیت‌ها ( $0.41\%$  تا  $0.43\%$ ) بیشتر از شیسته‌های میگماتیتی ( $0.31\%$  تا  $0.33\%$ ) است. به عبارت دیگر بیوتیت در سنگ‌های میگماتیتی  $\text{MgO}$  بالاتری نسبت به بیوتیت در شیسته‌های

دافنیت تغییر یافته‌اند. کسر مولی منیزیم برای این کانی  $0.38\%$  تا  $0.45\%$  است. کاتیون Si از  $2/9$  تا  $3/8$  و کاتیون Al از  $0/1$  تا  $2/6$  و کاتیون Na از  $0/0$  تا  $2/1$  و کاتیون Mn از  $0/0$  تا  $0/3$  است.



بیوتیت: بر اساس طبقه‌بندی Deer و همکاران (1962) و Speer (1984)، بیوتیت‌ها در محدوده بین آنیت و فلوگوپیت قرار می‌گیرند، به‌طوری که جانشینی قابل توجه  $\text{Mg}=\text{Fe}^{2+}$  در موقعیت کهور دیناسیونی اکتائدری، ترکیب فلوگوپیت را به

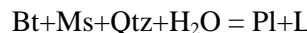
به طور کلی وجود سطوح بلوری (Vernon and Collins, 1988) در کوارتز و بافت آذرین در پلاژیوکلاز و ترکیب گرانیتی لوکوسوم‌ها، نشان دهنده وجود مذاب در زمان تشکیل میگماتیت‌های منطقه است. لوکوسوم‌ها حالت دگرنوا دارند و موازی و ممتد نیستند؛ از این‌رو، تزریق ماقما می‌تواند عامل اصلی ایجاد میگماتیت‌های منطقه در نظر گرفته شود. این مطلب با حضور میگماتیت‌هایی در منطقه که زمینه گرانیت‌وییدی دارند و در بردارنده زینولیت‌ها و زینوکریست‌های هورنفلسی فراوان هستند، تأیید می‌شود. مذاب به صورت حفره‌هایی شکل گرفته در کوارتز و بیوتیت‌ها و کردیریت‌ها مشاهده می‌شود (شکل ۸).



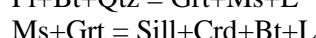
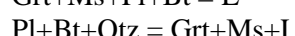
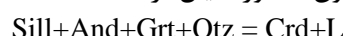
شکل ۸- تصاویر میکروسکوپی از سنگ‌های میگماتیتی منطقه بروجرد (شمال پهنه سندج - سیرجان). (A) لایه لوکوسوم در نور PPL، به حفره‌های شکل گرفته مذاب درون بیوتیت‌ها توجه شود؛ (B) لایه لوکوسوم در نور PPL غنی از گارنت؛ (C) لایه مزوسوم، به حفره‌های شکل گرفته مذاب درون کردیریت توجه شود؛ (D) کواترتهای خودشکل در لایه لوکوسوم.

واکنش‌های احتمالی ذوب در سنگ‌های میگماتیتی منطقه مورد مطالعه با توجه به کائی‌شناسی لوکوسوم‌ها به صورت ذیل است (برای سادگی ضرایب تعداد مول هر مرحله نوشته نشده است).

#### ۱- واکنش‌های ذوب با حضور سیال آزاد



#### ۲- واکنش‌های ذوب بدون حضور سیال آزاد



میگماتیتی دارد (شکل ۷-G). مقدار  $\text{TiO}_2$  بیوتیت در شیسته‌های میگماتیتی بیشتر از بیوتیت در میگماتیت است.

کردیریت: ترکیب شیمیایی این کانی از ۵۷ تا ۶۱ درصد مولی  $\text{MnCrd}$  و ۱ تا ۲ درصد مولی  $\text{MgCrd}$  تشکیل شده است. فراوانی کاتیون  $\text{Fe}^{2+}$  در این کانی ۰/۰ تا ۰/۸ به ازای ۱۸ اتم اکسیژن است.

**آلومینوسیلیکات‌ها:** فراوانی  $\text{SiO}_2$  برابر ۳۵/۵۴ - ۳۶/۱۸، ۶۴/۵۴ - ۶۳/۵۱  $\text{Al}_2\text{O}_3$ ، ۰/۲ از ۰/۶۷ تا ۰/۲۵ در این کانی‌ها در حدود ۰/۰۱ تا ۰/۰۲۵ درصد وزنی متغیر است.

#### ذوب در میگماتیت‌ها

لوکوسومی که از کوارتز، فلدسپار پتاسیم، پلاژیوکلاز و بیوتیت تشکیل شده باشد و کانی‌های بدون آب مانند گارنت و کردیریت در آن دیده نشود با مذاب‌های اشباع از آب سازگار است، در حالی که لوکوسومی که کانی‌های بدون آب مانند گارنت، کردیریت و ارتوپیروکسن دارد با مذاب‌های اشباع از آب همخوانی دارد (Ward *et al.*, 2007). در نتیجه در شیسته‌های میگماتیتی به طور استثنای در دو مقطع گارنت فراوان به صورت معلق در لوکوسوم مشاهده شده است. با توجه به وجود گارنت در لوکوسوم و همچنین، فراوانی کوارتز، پتاسیم فلدسپار و پلاژیوکلاز لوکوسوم مورد مطالعه مرتبط با مذاب‌های اشباع تا اشباع از آب به شمار می‌آیند.

$$\begin{aligned}
 6) & 6\text{sill} + 3\text{fcrd} + 5\text{ann} = 5\text{mu} + 7\text{alm} [\text{q}] \\
 9) & 3\text{fcrd} + 2\text{mu} = 8\text{sill} + 2\text{ann} + 7\text{q} [\text{alm}] \\
 13) & 2\text{sill} + \text{ann} + \text{q} = \text{mu} + \text{alm} [\text{fcrd}] \\
 25) & 3\text{fcrd} + 2\text{ann} = 2\text{mu} + 4\text{alm} + 3\text{q} [\text{sill}] \\
 P & = 4.0 \text{ kbar}, X(\text{CO}_2) = 0.262
 \end{aligned}$$

بنابراین، با توجه به رابطه  $\text{XCO}_2 = \frac{\text{MOL}_{\text{H}_2\text{O}}}{\text{MOL}_{\text{XH}_2\text{O}}} \cdot 100$ ٪ است. برای محاسبه  $P$ -مولی  $\text{XH}_2\text{O}$  برابر با  $\frac{100}{74}$ ٪ است. برای محاسبات شراین  $\text{XCO}_2$  شیسته‌های میگماتیتی با انجام محاسبات شراین میکرز و با درنظر گرفتن همه اکتیویتۀ اعضای نهایی و با فرض دمای  $600^\circ\text{C}$  درجه سانتیگراد، ۴۷٪ واکنش حاصل شد که در بین آنها تقاطع [py, gr, alm, an, phl, ann, cel, fcel, daph] پایدار است.

$$\begin{aligned}
 26) & 2\text{east} + 2\text{pa} + 4\text{q} + 2\text{H}_2\text{O} = 2\text{ab} + 2\text{mu} + \text{ames} [\text{clin}] \\
 27) & 5\text{east} + 2\text{pa} + 11\text{q} + 6\text{H}_2\text{O} = 2\text{ab} + 5\text{mu} + 2\text{clin} [\text{ames}] \\
 8) & 3\text{east} + \text{ames} + 7\text{q} + 4\text{H}_2\text{O} = 3\text{mu} + 2\text{clin} [\text{ab,pa}] \\
 12) & 6\text{ab} + 5\text{ames} + 2\text{q} + 2\text{H}_2\text{O} = 6\text{pa} + 4\text{clin} [\text{east,mu}] \\
 25) & 14\text{ab} + 2\text{mu} + 11\text{ames} + 2\text{H}_2\text{O} = 2\text{east} + 14\text{pa} + 8\text{clin} [\text{q}] \\
 P & = 2.7 \text{ kbar}, X(\text{CO}_2) = 0.148
 \end{aligned}$$

برای محاسبه  $T-\text{XCO}_2$  شیسته‌های میگماتیتی با فرض فشار ۳ کیلوبار از روش قطع واکنش‌های تعادل چندگانه با استفاده از واکنش بین همه اعضای نهایی ۱۵٪ واکنش حاصل شده در برنامۀ ترموکالک استفاده شده است. طبق محاسبات انجام شده، ترموکالک، اکتیویتۀ  $14\%$  برای کربن دی‌اکسید به دست آورده است.

$$\begin{aligned}
 12) & \text{cel} + \text{clin} = \text{py} + \text{phl} + \text{q} + 4\text{H}_2\text{O} \\
 18) & \text{phl} + 3\text{mu} + \text{clin} = 4\text{east} + 7\text{q} + 4\text{H}_2\text{O} \\
 98) & 8\text{ab} + 5\text{mu} + 3\text{daph} = 5\text{ann} + 8\text{pa} + 9\text{q} + \text{H}_2\text{O} \\
 104) & 3\text{an} + 5\text{ann} + 3\text{clin} + 3\text{q} = \text{gr} + 5\text{alm} + 5\text{phl} + 12\text{H}_2\text{O} \\
 T & = 595 \pm 0.25^\circ\text{C}, X(\text{CO}_2) = 0.148
 \end{aligned}$$

بنابراین، کسر مولی  $\text{H}_2\text{O}$  با توجه به رابطه  $\text{XH}_2\text{O} = \frac{\text{MOL}_{\text{H}_2\text{O}}}{\text{MOL}_{\text{XH}_2\text{O}}} \cdot 100$ ٪ است. پس می‌توان نتیجه گرفت که فشاربخشی آب بسیار بالا (بین  $74^\circ\text{C}$  تا  $86^\circ\text{C}$ ) و نزدیک فشار کل (عدد یک) می‌شده است. بالابودن فشاربخشی آب به احتمال

### ژئوترموبارومتری و محاسبه $\text{P-XCO}_2$ و $\text{T-XCO}_2$

سیالات در گیر در سنگ‌های میگماتیتی، چهار نوع سیال اصلی هستند:  $\text{CO}_2$ ,  $\text{CH}_4$ ,  $\text{N}_2$ ,  $\text{H}_2\text{O}$ . به نظر می‌رسد که  $\text{H}_2\text{O}$  و  $\text{CO}_2$  بیشترین سیالات موجود در بعضی از سرزمین‌های میگماتیتی هستند. برای مثال می‌توان مناطق ناکسوس در یونان (Kreulen, 1980)، کونمارا در ایرلند (Yardley, 1983) و کلرادو در آمریکا (Olsen, 1984) را نام برد. میگماتیت‌ها و متاپلیت‌های منطقه بروجرد، گرافیت دارند و مسلماً بر مقدار و نوع سیال تأثیر می‌گذارند. بنابراین، سعی شده است ابتدا مقدار سیالات و سپس دما و فشار محاسبه شود (محاسبات بر اساس دو مقطعی است که حداقل پاراژنر را دارند).

در نرم افزار ترموکالک برای محاسبه  $\text{P-T-XCO}_2$  از اعضای نهایی مرحله‌های مختلف با استفاده از تعادل کانی‌ها در سنگ‌های میگماتیتی استفاده می‌شود. با توجه به بالابودن مقدار درصد اکسید آهن در سنگ میگماتیتی و برای پایین‌آمدن درصد خطا و رسیدن درجه آزادی صفر برای تعیین دما و فشار از اعضای نهایی آهن دار استفاده شد (شکل ۹). با انجام محاسبات شراین میکرز و با درنظر گرفتن اکتیویتۀ اعضای نهایی و با فرض فشار ۴ کیلوبار، ۳۱٪ واکنش حاصل شد که در بین آنها تقاطع پایدار [and, fcel, san] برای محاسبه  $\text{T-XCO}_2$  به دست آمد.

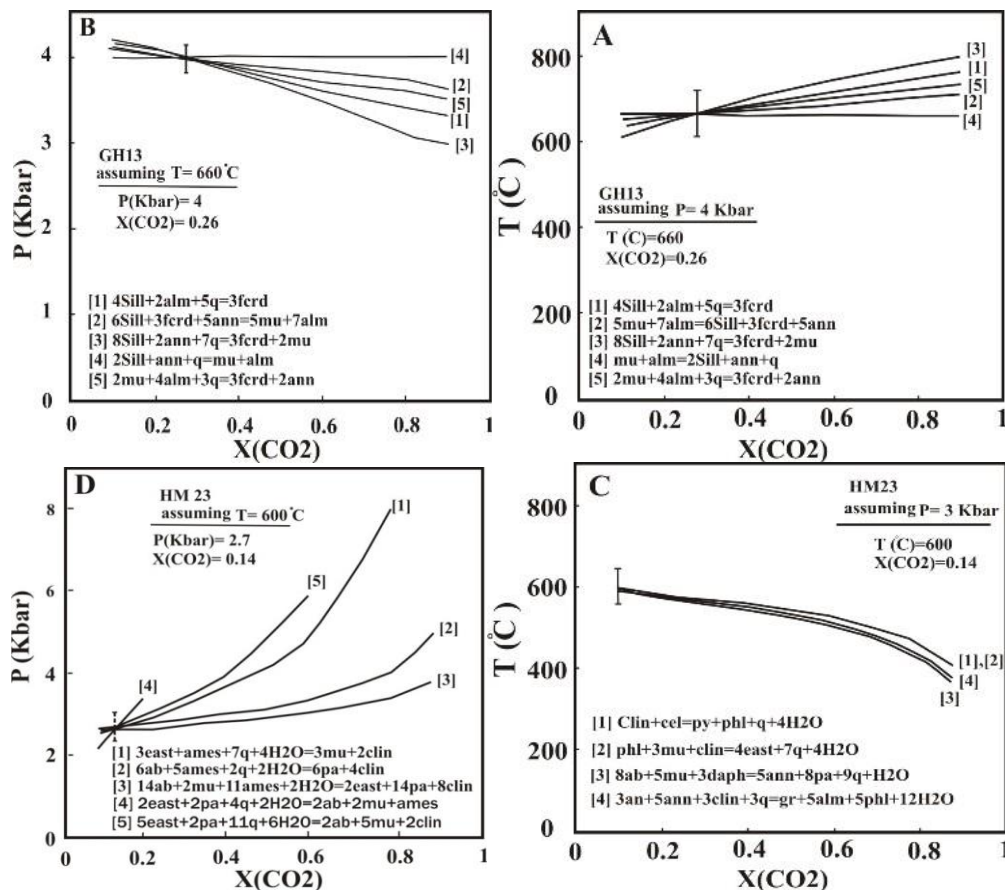
$$\begin{aligned}
 2) & 4\text{sill} + 2\text{alm} + 5\text{q} = 3\text{fcrd} [\text{mu,ann}] \\
 6) & 5\text{mu} + 7\text{alm} = 6\text{sill} + 3\text{fcrd} + 5\text{ann} [\text{q}] \\
 9) & 8\text{sill} + 2\text{ann} + 7\text{q} = 3\text{fcrd} + 2\text{mu} [\text{alm}] \\
 13) & \text{mu} + \text{alm} = 2\text{sill} + \text{ann} + \text{q} [\text{fcrd}] \\
 26) & 2\text{mu} + 4\text{alm} + 3\text{q} = 3\text{fcrd} + 2\text{ann} [\text{sill}] \\
 T & = 660^\circ\text{C}, X(\text{CO}_2) = 0.262
 \end{aligned}$$

همچنین، با انجام محاسبات شراین میکرز و با درنظر گرفتن اکتیویتۀ اعضای نهایی و با فرض دمای  $660^\circ\text{C}$  درجه سانتیگراد، ۳۰٪ واکنش حاصل شد که در بین آنها تقاطع پایدار [and, fcel, san] برای محاسبه  $\text{P-XCO}_2$  به دست آمد.

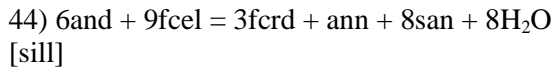
$$2) 3\text{fcrd} = 4\text{sill} + 2\text{alm} + 5\text{q} [\text{mu, ann}]$$

که شرایط حاکم بر ذوببخشی در سنگ‌های میگماتیتی در حضور سیال رخ داده است.

زیاد از ورود سیالات آبگین از طرف توده گرانیتی به سنگ‌های میگماتیتی دربرگیرنده، ناشی است. همچنین، بالابودن فشاربخشی آب نشان می‌دهد



شکل ۹- نمودارهای دما-فشار-سنجی برای سنگ‌های میگماتیتی منطقه بروجرد (شمال پهنه سندج - سیرجان). (A) منحنی  $T\text{-}X\text{CO}_2$  که با توجه به محاسبات انجام شده، دمای ۶۶۰ درجه سانتیگراد و کسر مولی ۰/۲۶ را برای سنگ‌های میگماتیتی نشان می‌دهد؛ (B) منحنی  $P\text{-}X\text{CO}_2$  که با توجه به محاسبات انجام شده، فشار ۴ کیلوبار و کسر مولی ۰/۰۲۶ را برای سنگ‌های میگماتیتی نشان می‌دهد، (C) منحنی  $T\text{-}X\text{CO}_2$  که با توجه به محاسبات انجام شده، دمای ۶۰۰ درجه سانتیگراد و کسر مولی ۰/۰۱۴ را برای شیسته‌های میگماتیتی نشان می‌دهد، (D) منحنی  $P\text{-}X\text{CO}_2$  که با توجه به محاسبات انجام شده، فشار ۷/۲ کیلوبار و کسر مولی ۰/۰۱۴ را برای شیسته‌های میگماتیتی نشان می‌دهد.



$$P = 2.8 \text{ kbar} \quad (sd = 0.6), \quad T = 662 \text{ C} \quad (sd = 32)$$

دما و فشار در شیسته‌های میگماتیتی با انجام محاسبات شراین میکرز و با درنظر گرفتن همه اکتیویتۀ اعضای نهایی ۱۵۰ واکنش حاصل شد که در بین آنها تقاطع پایدار

### محاسبۀ دما و فشار

با انجام محاسبات شراین میکرز و با درنظر گرفتن اکتیویتۀ اعضای نهایی آهن‌دار ۷۲ واکنش حاصل شد که در بین آنها تقاطع پایدار [mu, alm, q] به دست آمد (جدول ۳).

1) and = sill [fcrd, fcel, ann, san]

17)  $6\text{sill} + 9\text{fcel} = 3\text{fcrd} + \text{ann} + 8\text{san} + 8\text{H}_2\text{O}$   
[and]

43)  $py + gr + mu = 3an + phl$  [east, q]  
 46)  $py + 2gr + 3east + 6q = 6an + 3phl$  [mu]  
 56)  $gr + 3east + 6q = 3an + 2phl + mu$  [py]  
 $P = 3.3 \text{ kbar}$  ( $sd = 1.5$ ),  $T = 568 \text{ C}$  ( $sd = 57$ )

تقاطع پایدار [alm, ab, ann, cel, fcel, pa, ames, clin,]  
 [به دست آمد (جدول ۴)]  
 13)  $3east + 6q = py + phl + 2mu$  [gr, an]  
 51)  $3an + 3east + 6q = 2py + gr + 3mu$  [phl]

جدول ۳- مقدار اکتیویتۀ اعضای نهایی کانی‌ها که برای ساخت واکنش‌های پایدار در نرم افزار ترمومکالک استفاده شده‌اند.

| Sample No. | mineral assemblage        | Activity                                     |
|------------|---------------------------|--|
|            | Sill, And, Crd, Grt, Ms   | fcrd=0.18, ms=0.70, alm=0.39, fcel=0.02085   |
| GH13       | Bt, Kfs, H <sub>2</sub> O | ann=0.06142, san=0.95, H <sub>2</sub> O=0.74 |

جدول ۴- مقدار اکتیویتۀ اعضای نهایی استفاده شده برای واکنش‌های پایدار ایجاد شده با نرم افزار ترمومکالک.

| Sample No. | mineral assemblage                       | Activity  |
|------------|--|---|
| HM23       | Bt, Grt, Ms, Chl, Pl<br>H <sub>2</sub> O | phl=0.013041, ann=0.089, east=0.01727, py=0.000057, gr=0.000057, alm=0.23, spss=0.025, ms=0.52, cel=0.058, fcel=0.23185, pa=0.016523, ames=0.0169, clin=0.0139, daph=0.029, ab=0.87, an=0.21, H <sub>2</sub> O=0.86 |

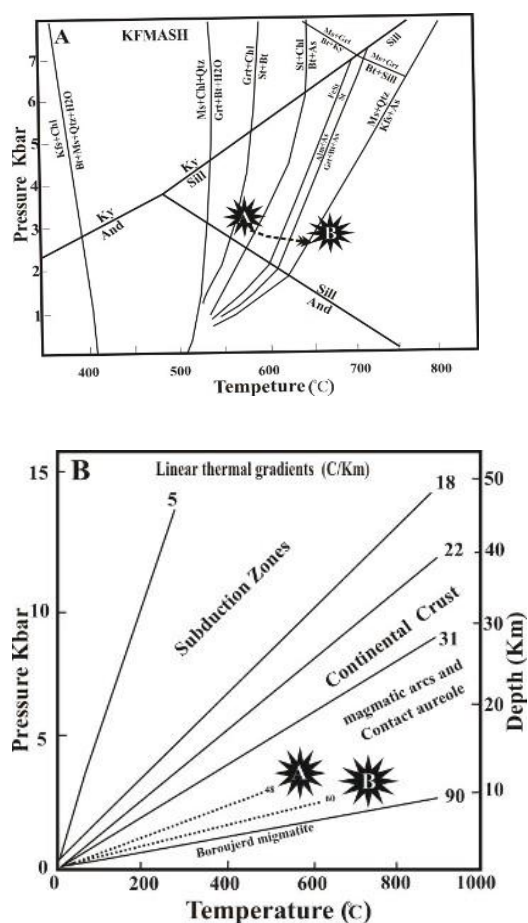
شیسته‌ای میگماتیتی و مشاهده بقایای شیستوزیتۀ S<sub>1</sub> به صورت ادخال در پورفیروبلاست‌های آندالوزیت در لایه مزوسوم هورنفلس میگماتیتی نشان می‌دهد که کانی‌های کلریت، مسکوویت و گارنت در شیسته‌های میگماتیتی در زمان دگرگونی ناحیه‌ای متبلور می‌شوند، به طوری که تا تشکیل آندالوزیت و گارنت همزمان با S<sub>1</sub> در هورنفلس‌های میگماتیتی پیش می‌روند.

با افزایش گرادیان زمین گرمایی منطقه بر اثر گندب حرارتی توده نفوذی بروجرد، در هاله دگرگونی اطراف توده نفوذی، کانی‌های بیوتیت، آندالوزیت، گارنت، کردیریت و در شرایط اوج دگرگونی در سنگ‌های میگماتیتی کانی‌های کردیریت به صورت شکسته شده و پنیتیتی، گارنت، سیلیمانیت و فیبرولیت تبلور می‌یابند. این تشابه تغییرات ترکیب کانی‌ها با شیسته و هورنفلس‌های منطقه و همچنین وجود دگرشکلی و شیستوزیته و مواردی مانند آن، گویای خاستگاه مشترک آنها است. این نشان می‌دهد که از نظر ساختاری با توجه به سنگ اولی ممکن است شیستوزیته، فولیاسیون، لیتاژ، چین خوردگی و کلیواژ

### خاستگاه زمین ساختی سنگ‌های میگماتیتی یا تکامل تکتونومتامورفیسم

نتایج فشار - دما-سنجی نشان می‌دهد که شیسته‌ای میگماتیتی در شرایط فشار ۳/۳ کیلوبار و دما ۵۶۸ درجه سانتیگراد و سنگ‌های میگماتیتی در شرایط ۲/۸ کیلوبار و دما ۶۶۲ درجه سانتیگراد رخ داده‌اند. بنابراین، الگوی کلی مسیر فشار - دما در جهت خلاف عقربه ساعت یا به عبارت دیگر پادساعت‌گرد است که با حضور توده‌های آذرین داغ و مناطق دگرگونی فشارپایین در قوس‌های ماقمایی حاشیه فال قاره‌ای سازگار است. در نخستین مرحله، شیسته‌ای میگماتیتی منطقه مورد مطالعه (شکل ۱۰- A) احتمالاً متحمل گرم شدگی همراه با افزایش فشار بر اثر تدفین شده‌اند. در این مرحله گرادیان زمین گرمایی منطقه بر اثر جایگیری توده‌های عمیق مافیک (زینولیت‌های مافیک موجود در توده بروجرد) بالاتر از گرادیان صفحات پایدار بوده است.

وجود ریزچین‌های بعد از فرایند میلیونی (چین‌های نسل سوم) در لایه مزوسوم



شکل ۱۰ - (A) مسیر P-T در سیستم KFMASH سنگ‌های میگماتیتی منطقه بروجرد (شمال پهنه سندج - سیرجان). منحنی‌های واکنش از Cheny و Spear (۱۹۸۹) است؛ (B) رابطه خطی بین دما - عمق که گویای گرadiان زمین گرمایی است (Holdaway and Mukhopadhyay, 1993) میگماتیت‌های بروجرد با خط‌چین نشان داده شده است که در منطقه دگرگونی مجاوری و پهنه ماقمایی قرار گرفته است.

### بحث و نتیجه‌گیری

مجموعه میگماتیتی منطقه بروجرد، میگماتیت‌های مختلف با تنوع ساختاری و کانی‌شناسی قابل توجه را شامل می‌شود و به صورت بخش‌های روشن (لوکوسوم)، تیره (ملانوسوم) و تیره و روشن (مزوسوم) دیده می‌شود. مقدار ملانوسوم نسبت به لایه‌های کم دیگر و گاهی اوقات سنگ بدون ملانوسوم است. بخش‌های روشن عمدتاً از کانی‌های کوارتز،

در قسمت‌های مختلف یک میگماتیت به‌ویژه مزوسم آن از سنگ مادر به ارت برده شده باشد. علاوه بر آن حرکات تکتونیکی و دگرگونی درجه بالا، میگماتیت‌ها را به شدت دگرشکل کرده است (همانند بیوتیت‌های چین‌خورد) که نتیجه این تغییر شکل‌ها، فولیاسیون‌ها، چین‌خوردگی‌ها، جریان‌یافتنی‌ها، شیستوزیت‌ها و ساخت‌های دیگر تکتونیکی است.

تحولات اوج دگرگونی سنگ‌های میگماتیتی در اعماق کمتر از ۱۱ کیلومتر انجام شده است و گرadiان زمین گرمایی ۴۸ تا ۶۰ درجه سانتیگراد بر کیلومتر است. افزایش گرadiان زمین گرمایی را می‌توان با مدل تزریق یکنواخت ماقما توجیه کرد که موجب تولید ماقما آناتکتیک و نفوذ آنها همراه با ماقماهای تفریق‌یافته حاصل از توده نفوذی اولی به سطوح بالاتر می‌شود. پدیده ذوب‌بخشی و صعود ماقما در مناطق ضعیف پوسته مانند شکستگی‌ها و پهنه‌های برشی راحت‌تر اتفاق می‌افتد و این شکستگی‌ها، صعود ماقما را تسهیل و هدایت می‌کنند. در نتیجه می‌توان گفت در منطقه مورد مطالعه ماقما آناتکتیک بروجرد در پهنه‌های برشی موجود در منطقه به افق‌های بالاتر نفوذ کرده است و موجب دگرگونی مجاوری سنگ‌های میگماتیتی درون گیر خود شده است.

بنابر بررسی‌های Ahmadi Khalaji (۲۰۰۶) و Ahmadi Khalaji Tahmasbi (۲۰۱۰) عمق جای‌گیری توده‌های نفوذی منطقه بروجرد کمتر از ۱۰ کیلومتر است. بر اساس شکل ۱۰-A که پاراژنرهای اوج دگرگونی سنگ‌های میگماتیتی در محدوده سیلیمانیت است و همچنین، با توجه به شکل ۱۰-B، تحولات اوج دگرگونی سنگ‌های میگماتیتی در اعماق کمتر از ۱۱ کیلومتر انجام شده است و گرadiان زمین گرمایی ۶۰ درجه سانتیگراد بر کیلومتر است.

سنگ‌های میگماتیتی و با شبکه پتروژنتیکی دمایی حدود ۷۰۰ تا ۷۸۰ درجه سانتیگراد و فشاری حدود ۳ تا ۴ کیلوبار گزارش شده است (Baharifar and Ghafari, 2010). نتایج دما - فشارسنجدی به دست آمده، محدوده دمایی ۵۶۸ تا ۶۶۲ درجه سانتیگراد و فشار ۲/۸ تا ۳/۳ کیلوبار را نشان می دهد. با توجه به دما و فشار محاسبه شده، گرادیان زمین گرمایی به ترتیب برای شیسته‌های میگماتیتی و میگماتیت‌ها ۴۸ و ۶۰ درجه سانتیگراد بر کیلومتر است. میگماتیت‌زایی اولی بر اثر دگرگونی ناحیه‌ای و همزمان یا قبل از تزریق گرانیت‌های نوع I اتفاق افتاده است. سپس با افزایش گرادیان زمین گرمایی این سنگ‌های میگماتیتی متتحمل دگرگونی مجاورتی نیز شده‌اند. انتشار حرارت ناشی از توده بروجرد و مagmaتیسم مافیک که انکلاوهایی از آنها در گرانیت‌ویدها دیده می‌شوند و سیالات فرورانشی سبب افزایش گرادیان زمین گرمایی و ایجاد میگماتیت‌ها شده است. این دگرگونی احتمالاً از طریق ورود سیالات آبگین از طرف توده گرانیتی به سنگ‌های میگماتیتی دربرگیرنده و همچنین، از راه رسانش گرمایی از نفوذ توده‌های مرتبط با کمان magmaتیسم مافیک که انکلاوهایی از آنها در گرانیت‌ویدها دیده می‌شود، هم اثرگذار بوده است؛ زیرا یک magmaتیم گرانیتی با دمای اولی حدود ۸۰۰ درجه سانتیگراد نمی‌تواند هاله دگرگونی با دمای حدود ۷۰۰ درجه سانتیگراد ایجاد کند و تنها تا حدود ۵۵۰ درجه سانتیگراد می‌تواند سنگ‌ها را داغ کند.

### سپاس‌گزاری

نگارندگان این پژوهش از حمایت‌های معاونت پژوهش و فناوری دانشگاه لرستان تشکر می‌کنند. در نهایت از داوران محترم مجله که با ارائه نظرات و پیشنهادهای ارزنده به ارتقای علمی مقاله کمک کرده‌اند، صمیمانه سپاس‌گزاری می‌شود.

پلازیوکلаз، آلکالی‌فلدسپار، بیوتیت و مسکوویت تشکیل شده‌اند و بافت پرتیت، پویی کیلوبلاستیک، گرانوبلاستیک، گرافیک و میرمکیتی دارند. لوکوسوم‌ها عموماً بافت سنگ‌های آذرین و بافتی شبیه گرانیت‌ها را دارند و از کوارتز، پلازیوکلاز، آلکالی‌فلدسپار، بیوتیت، مسکوویت و کانی‌های تیره تشکیل شده‌اند. بافت آنها پرتیت، پویی کیلوبلاستیک، گرانوبلاستیک و میرمکیتی است و دو نوع لوکوسوم‌های آلکالی‌فلدسپار و لوکوسوم‌های پلازیوکلازدار را دربرمی‌گیرند. هستند. ملانوسوم‌ها بافت لپیدوبلاستیک، لپیدوپورفیربلاستیک و گاه بافت‌های ترکیبی گرانولپیدوبلاستیک، لپیدوگرانوبلاستیک، پورفیروپیدوبلاستیک و لپیدوپورفیربلاستیک نشان می‌دهند و علاوه بر کانی‌های تیره، بیشتر کانی‌های تشکیل‌دهنده بخش روشن نیز در آنها مشاهده می‌شود. بر اساس تجزیه شیمیایی سنگ‌های میگماتیتی و بررسی‌های پتروگرافی، سنگ مادر غالب میگماتیت‌های مورد مطالعه، سنگ‌های پلیتی است که طی فرایندهای دگرگونی به شیسته‌های میگماتیتی، هورنفلس‌های میگماتیتی و میگماتیت‌ها تبدیل شده است. مطابق تجزیه نقطه‌ای کانی‌ها از بخش مزوسوم، ترکیب کلریت‌ها بین کلینوکلر و دافنیت، بیوتیت بین فلوگوپیت و آنیت، مسکوویت بین سلادونیت آهن‌دار و مسکوویت، گارنت بین اسپسارتین و آلماندن و غنی از آلماندن و کردیریت‌ها به‌طور معمول آهن‌دار است.

در بررسی‌های قبلی، حداکثر اوج دمای دگرگونی در سنگ‌های محدوده مورد مطالعه با استفاده از زوج گارنت - بیوتیت در حدود ۴۷۰ درجه سانتیگراد (Ahmadikhhalaji, 2006)، با مجموعه کانی‌شناسی و نرم افزار ترموکالک، ۶۵۰ درجه سانتیگراد (Masoudi, 1997) و با شناسایی کرنودوم در کانی‌های اوج دگرگونی

## منابع

- Ahmadi Khalaji, A. (2006) Petrology of the granitoid rocks of the Boroujerd area. PhD thesis, University of Tehran, Tehran, Iran (in Persian).
- Baharifar, A. K. and Ghafari, M. (2010) First report of Corundum occurrence and granulite grade metamorphism in migmatitic rocks of SE-Broujerd. 4<sup>th</sup> National Geological Conference of Payam Noor University, Mashhad, Iran (in Persian).
- Berthier, F., Billiaul, H. P., Halbrorom, B. and Marizot, P. (1974) Tude Stratigraphique, Petrologique et structural de La region de Khorramabad (Zagros, Iran). PhD thesis, University of Grenoble, France.
- Cogoon, R. and Holland, T. J. B. (2002) Mixing properties of phengitic micas and revised garnet-phengite thermobarometers. *Journal of Metamorphic Geology* 20(7): 683-696.
- Coleman, R. G., Lee, D. E., Beatty, L. B. and Brannock, W. W. (1965) Eclogites and eclogites: their differences and similarities. *Geological Society America Bulletin* 76(5): 483-508.
- Deer, W. A., Howie, R. A. and Zussman, J. (1962) Rock-forming minerals. 3<sup>rd</sup> vol., Longman, London.
- Droop, G. T. R. (1987) A general equation for estimating Fe<sup>3+</sup> concentrations in ferromagnesian silicates and oxides from microprobe analyses, using stoichiometric criteria. *Mineralogical Magazine* 51(361): 431-435.
- Ghafari, M. (2010) Petrology of metamorphic rocks in the southeast of Boroujerd. MSc thesis, Geological Survey of Iran, Tehran, Iran (in Persian).
- Heydarianmanesh, A., Tahmasbi, Z. and Ahmadi Khalaji, A. (2014) A study of macroscopic structures of migmatites in the Boroujerd area. 8<sup>th</sup> National Geological Conference of Payam Noor University, Arak, Iran (in Persian).
- Holdaway, M. J. and Mukhopadhyay, B. (1993) A re-evaluation of the stability relations of andalusite: thermochemical data and phase diagram for the aluminum silicates. *American Mineralogy* 78(3-4): 298-315.
- Kretz, R. (1983) Symbols for rock-forming minerals. *American Mineralogist* 68(3-4): 277-279.
- Kreulen, R. (1980) CO<sub>2</sub>-rich fluids during regional metamorphism on Naxos (Greece): carbon isotopes and fluid Inclusions. *American Journal of Science* 280(8):745-771.
- Masoudi, F. (1997) Contact metamorphism and pegmatite development in the region SW of Arak, Iran. PhD thesis, Leeds University, UK.
- Mehnert, K. R. (1968) Migmatites and the origin of granitic rocks. Elsevier, Amsterdam.
- Mohajjal, M. (1997) Structure and tectonic evolution of Paleozoic-Mesozoic rocks, Sanandaj-Sirjan zone, Western Iran. PhD thesis, University of Wollongong, Wollongong, Australia.
- Olsen, S. N. (1984) Mass-balance and mass transfer in migmatites from the Colorado Front Range. *Contribution to Mineralogy and Petrology* 85(1): 30-44.
- Pflumio, C. (1991) Evidences for polyphased oceanic alteration of the extrusive sequence of the Semail ophiolite from the Salahi Block (Oman). In: Ophiolite genesis and evolution in the oceanic lithosphere (Ed. Peters, T. J.) 313-351. Institute of Mineralogy and Petrology, University of Bern, Bern.
- Seifert, F. (1978) Bedeutung und Nachweis von thermodynamischem Gleichgewicht und die interpretation. von Ungleichgewichten, *Fortschr Mineral* 55: 111-134.
- Spear, F. S. (1993) Metamorphic phase equilibria and pressure-temperature time paths. *Mineralogical Society of America Monograph* (Mineralogical Society of America).
- Spear, F. S. and Cheney, J. T. (1989) A Petrogenetic grid for pelitic schist in the system SiO<sub>2</sub>-Al<sub>2</sub>O<sub>3</sub>-FeO-MgO-K<sub>2</sub>O-Na<sub>2</sub>O. *Contribution to Mineralogy and Petrology* 101(1): 149-164.

- Spear, F. S. and Peacock, S. M. (1989) Metamorphic pressure-temperature-time paths. American Geophysical Union, Washington, Short Course in Geology 7: 102.
- Speer, J. A. (1984) Micas in igneous rocks. Review in Mineralogy and geochemistry 13(1): 299-356.
- Tahmasbi, Z. and Ahmadi Khalaji, A. (2010) Using of mineral chemistry to determine the formation conditions of Boroujerd granitoid complex and its metamorphic aureole. Petrology 1(2): 77-94 (in Persian).
- Vernon, R. H. and Collins, W. J. (1988) Igneous microstructures in migmatites. Geology 16(12): 1126-1129.
- Vidal, O. and Parra, T. (2000) Exhumation paths of high pressure metapelites obtained from local equilibria for chlorite-phengite assemblages. Geological Magazine 35: 139-161.
- Ward, R. A., Steven, G. and Kisters, A. F. M. (2007) Deformation-controlled, fluid-induced anatexis: a field and experimental study on the Damara Orogen, Namibia. Sixth Hutton Symposium, Stellenbosch, South Africa, Abstract Volume, 222-223.
- Will, T. M. (1998) Phase Equilibria in Metamorphic Rocks, Thermodynamic Backgrounds and Petrological Applications. Lecture Notes in Earth Sciences, Springer.
- Winkler, H. G. F. (1976) Petrogenesis of Metamorphic Rocks. 4th Ed. Springer-Verlag, New York onc.
- Yardley, B. W. D. (1983) Quartz veins and devolatilization during metamorphism. Journal of the Geological Society of London 140(4): 657-663.



## Mineral chemistry and thermobarometry of migmatitic rocks of Boroujerd area (north of Sanandaj-Sirjan zone)

**Arefeh Heydarianmanesh, Zahra Tahmasbi \*** and **Ahmad Ahmadi Khalaji**

Department of Geology, Faculty of Sciences, Lorestan University, Khorramabad, Iran

### Abstract

Migmatites have formed an important part of high-grade metamorphism in the Boroujerd area aureole (north of Sanandaj-Sirjan zone). Migmatitic complex including: migmatites, schist migmatites and hornfels migmatites with a different range of structural and mineralogical compositions. These rocks are observed as light (leucosome), dark (melanosome) and dark and light (mesosome). Leucosomes mainly composed from quartz, plagioclase, K-feldspar, biotite and muscovite and also have perthite, poikiloblastic, granoblastic, graphic and myrmekite textures. Melanosomes formed from minerals such as biotite, garnet, andalusite, tourmaline and sillimanite have lepidoblastic, porphyrolepidoblastic and lepidoporphroblast textures. Mesosomes formed from dark and light minerals and show porphyroblastic, lepidoblastic and granoblastic textures. According to petrographic studies and whole rock chemical analyses for these rocks revealed that dominant protolith is pelitic rocks. The thermobarometry results showed temperature range of 568°C to 662 °C and pressure of 2.8 to 3.3 kbars. According to the calculated temperature and pressure, the geothermal gradient of schist migmatites and hornfels migmatites determined 48 °C/km and 60 °C/km, respectively. Heat release of the Boroujerd pluton, mafic magmatism in area (that enclaves of them can be seen in the granitoids) and subduction fluid causes migmatites that it shows the main factor increasing geothermal gradient is the presence of hot igneous plutons and enter intrusion fluid in the magmatic arcs.

**Key words:** Geothermobarometry, Partial melting, Migmatite, Magmatic arc, Boroujerd, Sanandaj-Sirjan zone

\* tahmasebi.z@lu.ac.ir

Copyright©2016, University of Isfahan. This is an Open Access article distributed under the terms of the Creative Commons Attribution License (<http://creativecommons.org/licenses/BY-NC-ND/4.0>), which permits others to download this work and share it with others as long as they credit it, but they cannot change it in any way or use it commercially.